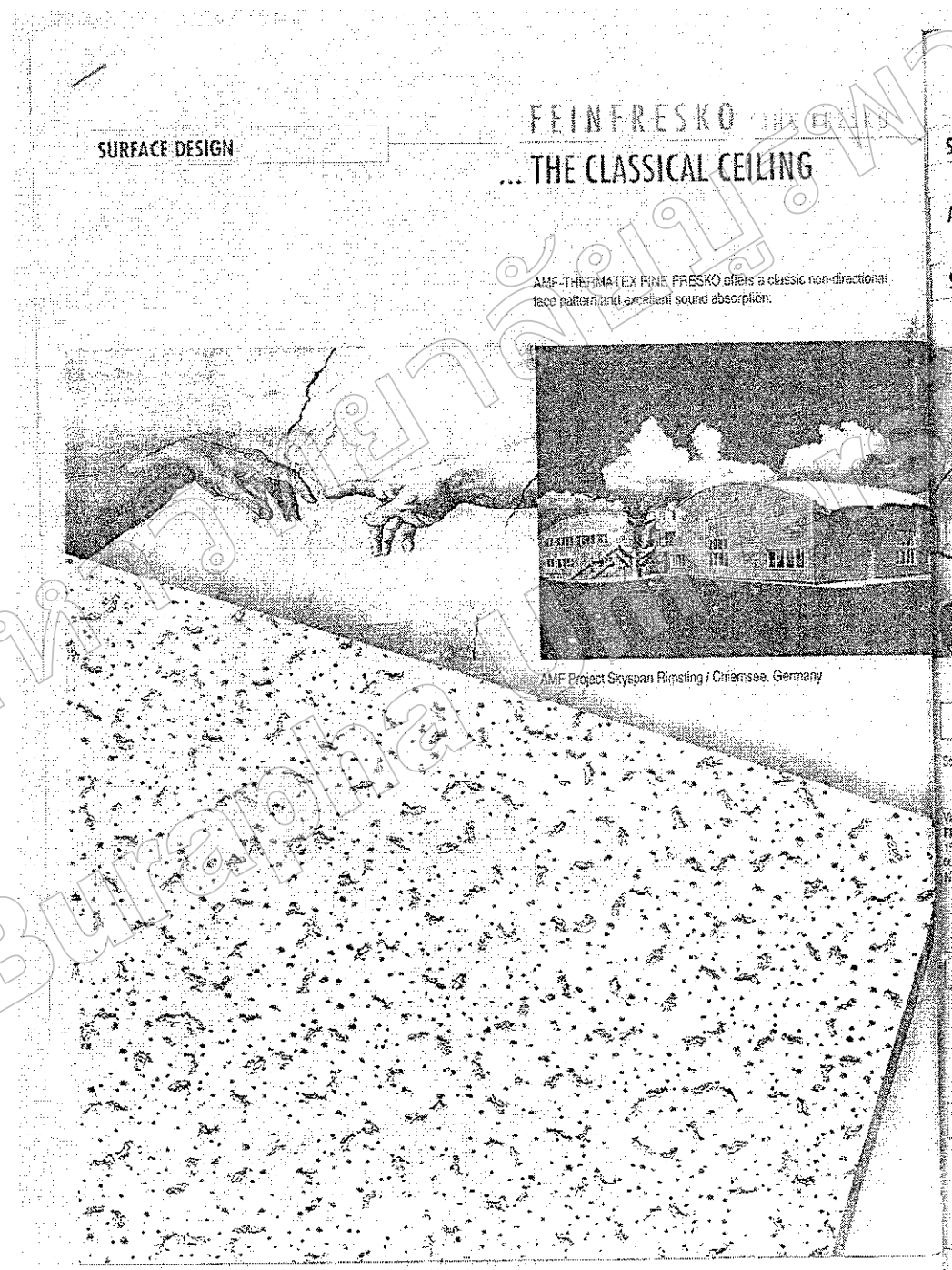


ภาคผนวก

ภาคผนวก ก

คุณสมบัติของวัสดุทรายค่าสัมประสิทธิ์การดูดกลืนเสียงและสัมประสิทธิ์การลดเสียง

คุณสมบัติของวัสดุทรายค่าสัมประสิทธิ์การดูดกลืนเสียงและค่าสัมประสิทธิ์การลดเสียง
(ชื่อทางการค้า FEIN FRESKO)



SURFACE DESIGN

AVAILABLE AS

SUSPENSION SYSTEM

**FEINFRESKO
FINE FRESKO
THERMATEX**

Ceiling tiles made from new generation bio-soluble mineral wool, clay and starch with excellent fire resistance and acoustic performance.

SYSTEM C EXPOSED SYSTEM
For 15 or 24 mm wide sections.
Demountable ceiling

SYSTEM F FREE SPAN SYSTEM
Clear span plank system, with exposed or concealed suspension

SYSTEM B BANDRASTER SYSTEM
With parallel sections 50–150 mm wide and concealed cross sections

SYSTEM F30 FIRE PREVENTION SYSTEM
An independent ceiling giving fire protection from above and below

Knauf AMF GmbH & Co. KG is certified in accordance with Quality Assurance Standard to ISO 9001 and ISO 14001

The RAL Seal of Approval gives assurance that mineral panels are regularly checked for quality, safety and fire protection.

TECHNICAL PERFORMANCE

Sound absorption values for FINE FRESKO:

frequency in Hz	0.125	0.250	0.500	1.000	2.000	4.000
Values for 15 mm	0.47	0.47	0.49	0.68	0.94	3.59
$\Omega_w = 0.60 \text{ H}$						
NRC = 0.65						

FIRE Class 1 Surface Spread of Flame to BS 476 Part 7: 1987. Class 0 as defined by Building Regulations, 1987. Class B1 as per DIN 4102 part 1, Class A2/B1 as per DIN 4102 part 1.

THermal Thermal conductivity $\lambda = 0.052 - 0.057 \text{ W/mK}$

LIGHT Up to 90%

WATER Fire protection up to 1 hour in accordance with BS 476: Parts 20-23:1987. Fire resistance F30:F120 to DIN 4102, Part 2.

HYGIENE HYGENA - bactericidal and fungicidal treatment

DIMENSIONS, PANEL THICKNESS

Standard Sizes: 600 x 600 mm / 625 x 625 mm / 600 x 1200 mm / 625 x 1250 mm
Panel sizes: 300 x 1200 mm – 2500 mm / 312.5 x 1250 mm – 2500 mm
400 x 1200 mm – 2500 mm, other sizes to order
Thickness / Weight: 15 mm (c. 4.5 kg/m²) / 19 mm (c. 5.7 kg/m²) / 40 mm (c. 12 kg/m²)
Colour: White similar to RAL 9010, other colours available to order

All specifications are subject to change without notice.
Ceiling installation must be as described in the relevant test reports and assessments.

ภาคผนวก ข

ผลงานวิจัยที่ได้รับการตีพิมพ์เผยแพร่



เรื่องเต็มการประชุมทางวิชาการของมหาวิทยาลัยเกษตรศาสตร์ ครั้งที่ 45

The Proceeding of 45th Kasetsart University Annual Conference

เล่มที่ 5

สาขาวิชาสถาปัตยกรรมศาสตร์และวิศวกรรมศาสตร์

(Subject: Architecture and Engineering)

สาขาวิชารพยากรธรรมชาติและสิ่งแวดล้อม

(Subject: Natural Resources and Environment)

จัดโดย (Organized by)

มหาวิทยาลัยเกษตรศาสตร์ (Kasetsart University)

ร่วมกับ (in cooperation with)

สำนักงานคณะกรรมการการอุดมศึกษา (Commission of Higher Education)

กระทรวงศึกษาธิการ (Ministry of Education)

กระทรวงเกษตรและสหกรณ์ (Ministry of Agriculture and Cooperatives)

กระทรวงวิทยาศาสตร์และเทคโนโลยี (Ministry of Science and Technology)

กระทรวงทรัพยากรธรรมชาติและสิ่งแวดล้อม

(Ministry of Natural Resources and Environment)

กระทรวงเทคโนโลยีสารสนเทศและการสื่อสาร

(Ministry of Information and Communication Technology)

สำนักงานคณะกรรมการวิจัยแห่งชาติ (National Research Council of Thailand)

และสำนักงานกองทุนสนับสนุนการวิจัย (The Thailand Research Fund)

30 มกราคม – 2 กุมภาพันธ์ 2550 (30 January – 2 February 2007)

ISBN 978-974-537-999-2

คำนำ

มหาวิทยาลัยเกษตรศาสตร์ร่วมกับสำนักงานคณะกรรมการการอุดมศึกษา กระทรวงศึกษาธิการ กระทรวงเกษตรและสหกรณ์ กระทรวงวิทยาศาสตร์และเทคโนโลยี กระทรวงทรัพยากรธรรมชาติและสิ่งแวดล้อม กระทรวงเทคโนโลยีสารสนเทศและการสื่อสาร สำนักงานคณะกรรมการวิจัยแห่งชาติและสำนักงานกองทุนสนับสนุนการวิจัย ได้จัดให้มีการประชุมทางวิชาการ ครั้งที่ 45 ในวันที่ 30 มกราคม พ.ศ. 2560 โดยมีวัตถุประสงค์เพื่อเสริมสร้างและพัฒนา ศูนยภาพของงานวิจัย และเผยแพร่ความรู้ความก้าวหน้าทางด้านวิชาการและเทคโนโลยี ตลอดจน เป็นการแลกเปลี่ยนความรู้ และระดมความคิดเห็นระหว่างนักวิชาการ อันจะนำไปสู่แนวทางการวิจัย เพื่อนำไปใช้ประโยชน์ในการพัฒนาเศรษฐกิจและสังคมของประเทศไทยต่อไป

นั้งสืบทอดบัน្តือราบรื่นเรื่องเต็มผลงานวิจัยทั้งภาคขยายและภาคโปรดักชันของ สาขาวิชาสถาปัตยกรรมศาสตร์และวิศวกรรมศาสตร์ 73 เรื่อง และสาขาวิชาทรัพยากรธรรมชาติและ สิ่งแวดล้อม 31 เรื่อง ซึ่งได้ผ่านการคัดเลือกจากคณะกรรมการผู้ทรงคุณวุฒิประจำสาขา และ นำเสนอในการประชุมทางวิชาการ ครั้งที่ 45

ในนามของคณะกรรมการดำเนินการจัดการประชุมทางวิชาการ ครั้งที่ 45 ขอขอบคุณ ผู้วิจัย นักวิชาการ คณาจารย์ที่ได้นำผลงานมาเสนอ และผู้ที่สนใจเข้าร่วมการประชุมทางวิชาการใน ครั้งนี้ ขอขอบคุณคณะกรรมการทุกฝ่ายที่สละเวลา แรงกาย แรงใจ และความคิด ร่วมมือกันจัด บริษัทการประชุม งานทำให้การประชุมทางวิชาการครั้งนี้สำเร็จลุล่วงไปด้วยดี

(ศาสตราจารย์ ดร.สุจิต มaitree พนิชศักดิ์พัฒนา)

รักษาราชการแทนรองอธิการบดีฝ่ายวิชาการ

ประธานคณะกรรมการดำเนินงานจัดการประชุมทางวิชาการ ครั้งที่ 45

ความสมบูรณ์ของการเสนอผลงาน
ในการประชุมทางวิชาการ ครั้งที่ 45
ของมหาวิทยาลัยเกษตรศาสตร์
ประกอบด้วย หนังสือรับรองภาระนำเสนอผลงาน
และการได้พิมพ์ลงในหนังสือเรื่องเต็ม

เอกสารทางวิชาการ 5/2550

กองบริการการศึกษา มหาวิทยาลัยเกษตรศาสตร์
โทร. 0 2942 8167-8 โทรสาร 0 2942 8167-8

E-mail: psd.esd@ku.ac.th

การประชุมทางวิชาการของนักเรียนเกียกคุยศาสตร์ ครั้งที่ 45

4. ทศ.4/O23	อิทธิพลของสื่อมวลชนต่อพฤติกรรมของนักท่องเที่ยวที่ไปเยือนอุทยานแห่งชาติ.....651 Influence of Mass Media on Behavior of Visitors to National Parks โดย สุปานี นิยมศิลป์ นางรรณ ฐานะกาญจน์ เผด็จ เวชชานุยะ และปันดา สำราญศุข
5. ทศ.5/O25	ความคิดเห็นของนักท่องเที่ยวต่อโปรแกรมสื่อความหมายในแหล่งนันทนาการทางธรรมชาติ แหล่งนันทนาการที่รวมชาติ และแหล่งนันทนาการทางประวัติศาสตร์.....659 Visitor's Opinions toward Interpretive Programs in Natural, Semi-natural and Historical Recreation Areas โดย ภรรยา พรมสู ลันต์ เกตุปภาณี นางรรณ ฐานะกาญจน์ และปันดา สำราญศุข
6. ทศ.6/O28	ผลกระทบจากการทำนากรังก์ต่อกุ้มแพตติน แสงสังคมที่เข้าชายเลน บริเวณอำเภอ จังหวัดชุมพร667 Impact of Shrimp Farming on Soil Properties and Mangrove Community at Sawi District, Chumphon Province โดย ชินวัฒน์ พวงยศด การประเมินศักยภาพทรัพยากร้อนน้ำในการฐานป่าไม้.....675 Assessment of Forest - based Recreation Resource Potential โดย นิตัศน์ บุนสง นางรรณ ฐานะกาญจน์ วันชัย อรุณประภากัณฑ์ และอุทิศ ภูโภินทร์
7. ทศ.7/O477	การเปลี่ยนแปลงพื้นที่ทางการให้ของน้ำที่มีผลต่อการใช้ประโยชน์ที่ดินของพื้นที่โดยรอบ สุวรรณภูมิมหานคร683 Effects from Flow Direction Change to Landuse Surrounding Suvarnabhumi Mahanakorn โดย อรุณรัตน์ มนตรีวงศ์ และบุญเชิด หมื่นอิ้ม
8. ทศ.11/O82	เสียงรบกวนในหมู่บ้าน เทศบาลตำบลซุมแสง อำเภอวังจันทร์ จังหวัดระยอง691 Community Noise in Tambolchumsang Municipality, Amphoe Wangchan, Rayong Province โดย อรุณ แย่ดัง นิรันดร์ วิทิตอนันต์ และพิชญ์ สว่างวงศ์
9. ทศ.13/O121	วัสดุดูดเสียงเสียงจากไยกา.....699 Sound Absorbing Material from Papyrus Fiber โดย เกศ ศรีวัฒน์ผล นิรันดร์ วิทิตอนันต์ พิชญ์ สว่างวงศ์ และสมพร ศรีวัฒน์ผล
10. ทศ.15/O122	恢复自然生态的材料.....706 Recovery of Avian Diversity in an Abandoned Human Settlement in Western Forest of Thailand.....706 By Prateep Duengkae and Vijak Chimchome
11. ทศ.17/O158	

สาขาวิชารัฐศาสตร์และนานาชาติ

และสิ่งแวดล้อม

Subject: Natural Resources

and Environmental

ภาคบรรยาย

Oral Presentation

วัสดุดูดกลืนเสียงจากไผ่

Sound Absorbing Material from Papyrus Fiber

เกต ศรีวัฒนาพูล¹ นิรันดร์ วิจิตอนันต์² พิราณ สว่างวงศ์³ และ สมพร ศรีวัฒนาพูล⁴

Gate Srewattanapon Nirun Witit-anun Pichan Sawnagwong and Somporn Srewattanapon

บทคัดย่อ

โครงการวิจัยนี้มีวัตถุประสงค์หลักเพื่อศึกษาความเป็นไปได้ในการนำเส้นใยจากดินกากม้าสร้างเป็นวัสดุดูดกลืนเสียง มีผลการศึกษาดังนี้ วัสดุดูดกลืนเสียงสร้างขึ้นจากเด็นไอกับฟอร์มัลดีโอล (อัตราส่วน 1:1) อัดร้อนในแม่พิมพ์ด้วยเครื่องอัดไฮดรอลิก แรงดัน 1 N/mm² อุณหภูมิ 150 °C นาน 10 นาที โดยวัสดุดูดกลืนเสียงจากไผ่ในงานวิจัยนี้ ความหนา 2.5 , 5 cm และ ความหนาแน่น 100 , 150 , 200 kg/m³ สำหรับความสามารถในการดูดกลืนเสียงของวัสดุดูดกลืนเสียงที่สร้างขึ้นพิจารณาจากค่าสัมประสิทธิ์การดูดกลืนเสียง (α) วัดตามหลักการของมาตรฐาน ASTM E 1050-90 และค่าสัมประสิทธิ์การลดเสียง (NRC) ทั้งนี้ค่าสัมประสิทธิ์การดูดกลืนเสียงของวัสดุดูดกลืนเสียงจากไผ่ที่ความหนาและความหนาแน่นต่างๆ จะเปลี่ยนไปตามความถี่เมื่อมองกันทั้งหมด โดยมีค่าสูงสุดที่ความถี่ 500 Hz และต่ำสุดที่ 1000 Hz หากพิจารณาค่าสัมประสิทธิ์การลดเสียงพบว่าเมื่อวัสดุดูดกลืนเสียงหนาขึ้นค่าสัมประสิทธิ์การลดเสียงจะมีค่าเพิ่มขึ้นด้วย

ABSTRACT

Research objective for possible to take papyrus fiber create sound absorbing material. The results showed that the sound absorbing material made from papyrus fiber mixed with ureaformaldehyde glue (ratio 1:1) by pouring into mold of hydraulic pressing machine at pressure 1 N/mm² with temperature 150 °C and pressing at such pressure for 10 minutes. The material have thickness 2.5, 5 cm, while the density 100 , 150 , 200 kg/m³. The ability of sound absorption of material to created consider from sound absorption coefficient (α) by measure follow ASTM E 1050-90 and noise reduction coefficient (NRC). The sound absorption coefficient at thickness and density has change follow frequency with highest at frequency 500 Hz and lowest of 1000 Hz. The noise reduction coefficient was increased with thickness of absorbing material.

Key words sound absorbing material, noise control, environmental noise, papyrus fiber

E-mail: sc420061@hotmail.com

¹ โครงการบัณฑิตศึกษา สาขาวิทยาศาสตร์สิ่งแวดล้อม คณะวิทยาศาสตร์ มหาวิทยาลัยบูรพา

Environmental Science Program, Faculty of Science, Burapha University

² ภาควิชาฟิสิกส์ คณะวิทยาศาสตร์ มหาวิทยาลัยบูรพา

Department of Physics, Faculty of Science, Burapha University.

³ ภาควิชาวิศวศาสตร์ คณะวิทยาศาสตร์ มหาวิทยาลัยบูรพา

Department of Physics, Faculty of Science, Burapha University.

⁴ ภาควิชาเทคโนโลยีคอมพิวเตอร์ คณะวิทยาศาสตร์ มหาวิทยาลัยเทคโนโลยีราชมงคลธัญบุรี

Department of Technology Computer, Faculty of Science, Rajamangala University of Technology Suvarnabhumi.

คำนำ

ปัจจุบันปัญหามลพิษทางเสียงเป็นวันจะห้ามความรุนแรงเพิ่มขึ้นทุกขณะ โดยเฉพาะดับเสียงในสิ่งแวดล้อม จากรากในเขตเมืองใหญ่ และระดับเสียงจากโครงการต่างๆ เช่น อุตสาหกรรม งานส่งมวลชน และสนามบิน เป็นต้น ปัญหานี้ได้มีเพียงความรู้ความเข้าใจเท่านั้น แต่ยังก่อให้เกิดอันตรายต่อสุขภาพและอนาคตของผู้อยู่อาศัยได้เรียงด้วย การควบคุมปัญหามลพิษทางเสียงสามารถทำได้หลายวิธี เช่น การควบคุมที่แหล่งกำเนิดเสียง การควบคุมที่สิ่งแวดล้อม เช่น การเดินทางด้วยเสียง และ การควบคุมที่ตัวผู้รับเสียง (Harris, 1979) สำนักงานคณะกรรมการสิ่งแวดล้อม แห่งชาติ (2533) รายงานว่าการควบคุมที่สิ่งแวดล้อมของเสียงสามารถทำได้ 2 ลักษณะคือ การเพิ่มระยะห่าง ระหว่างแหล่งกำเนิดกับผู้รับ หรือ การใช้วัสดุดูดเสียง (Sound Absorber) กันระหว่างสิ่งแวดล้อมของเสียง การควบคุมมลพิษทางเสียงโดยการเพิ่มระยะห่างระหว่างแหล่งกำเนิดกับผู้รับทำได้ยากและมีค่าใช้จ่ายมาก ทำให้การใช้วัสดุดูดเสียงสำหรับการแก้ปัญหามลพิษทางเสียงเป็นที่น่าสนใจกว่า

วัสดุดูดเสียงอาจมาจากวัสดุประเภทต่างๆ หลักชนิด รวมถึงการนำวัสดุเหลือใช้ประเภทต่างๆ มา ใช้เป็นวัสดุดีบในการสร้างวัสดุดูดเสียง เช่น การสร้างวัสดุดูดเสียงจากเศษวัสดุทึบแห้ง ซึ่งสุกัณ (2533) ได้ใช้กับมนพรวา ผักตบชวาและฟางช้า มาทำเป็นวัสดุดูดเสียงจากการศึกษาพบว่า ความมหัศจรรย์ มี ประสิทธิภาพในการดูดเสียงดีที่สุด นิรันดร์ (2535) ได้สร้างวัสดุดูดเสียงประเทวตุพราวนจากเศษวัสดุ เหล็กใช้จากการเกษตรคือ แมลง รังนก และไยมหัศจรรยา จากการศึกษาพบว่า แมลงมีสมรรถนะดีในการดูดเสียงดีที่สุด นอกจากนี้ยังอาจใช้วัสดุอื่นร่วมในการสร้างวัสดุดูดเสียงด้วย เช่น Pfeitzschner and Rodriguez (1999) ได้ ใช้เศษยางรถยนต์ที่คัดแยกแล้วมาทำเป็นวัสดุดูดเสียงซึ่งได้ดำเนินการตามที่ตั้งไว้ เป็นต้น

วัสดุดูดเสียงประเทวตุพราวนที่นิยมใช้ในการควบคุมปัญหามลพิษทางเสียงคือ วัสดุดูดเสียง ซึ่ง Chao and Jiepk (2001) กล่าวว่าเส้นใยแก้ว (glass wool) และเส้นใยหิน (rock wool) มีประสิทธิภาพในการดูดเสียงสูง จึงมักน้ำเส้นใยหัวหงส์ 2 นิ้ว นำไปใช้เป็นส่วนประกอบหลัก แต่ฝ่ายอาชีวอนามัย กองอนามัยสิ่งแวดล้อม (2539) รายงานว่าเส้นใยหัวหงส์ 2 จะส่งผลกระทบต่อสุขภาพและร่างกายของผู้ใช้ได้ โดยการสัมผัสร้อนหายใจเข้าสู่ระบบทางเดินหายใจ ทำให้เกิดโรคเรื้อรัง ถุงลมโป่งพอง มะเร็งเยื่อบุปอด หรือ มะเร็งหลอดลม เป็นต้น

อย่างไรก็ได้ การใช้เส้นใยเหล็กโลหะของพื้นทำเป็นวัสดุดูดเสียง ที่เป็นอีกแนวทางหนึ่งที่น่าสนใจ เมื่อจากเส้นใยเหล็กโลหะเป็นเส้นใยที่ยืดหยุ่นได้จำกัด ไม่สามารถดูดเสียงได้ดี แต่สามารถดูดเสียงได้ดี ต่อสุขภาพของมนุษย์ (เวร์ศักดิ์, 2543) ซึ่งเส้นใยก็เป็นตัวของย่างหนึ่งของเส้นใยเหล็กโลหะที่ได้จากการเผาต่อสุขภาพของมนุษย์ คงทน ทำให้ผู้คนส่วนใหญ่ยอมรับเส้นใยชนิดนี้มาเป็นอย่างมากในงานเกษตร เช่น เสื่อ ตะกร้าและของใช้ต่างๆ ซึ่งหากมีการนำเส้นใยก็มาเป็นส่วนประกอบหลักในการสร้างเป็นวัสดุดูดเสียง จะเป็นการเพิ่ม ความสามารถของเส้นใยที่ได้จากการเผาต่อสุขภาพและร่างกายของผู้ใช้ได้ดี ซึ่งการนำเส้นใยจากต้นกามสัร้างเป็นวัสดุดูดเสียงเพื่อเป็นอ้อมูลพื้นฐานสำหรับการวิจัยและพัฒนาวัสดุดูดเสียง ประเทวตุพราวนที่มีต่อการดูดเสียง เพื่อเป็นอ้อมูลพื้นฐานสำหรับการวิจัยและพัฒนาวัสดุดูดเสียง เป็นไปได้

อุปกรณ์และวิธีการ

การสร้างวัสดุคุณลักษณะเสียงจากไอก

วัสดุคุณลักษณะเสียงจากไอกที่สร้างขึ้นในงานวิจัยนี้ ทำจากเส้นกอกแห้งที่มีลักษณะเรียบง่ายปรับสภาพให้เป็นเส้นไข่ที่มีขนาดเล็กและอ่อน弱 โดยนำเส้นกอกแห้งมาทำปฏิกิริยากับสารละลายโซเดียมไฮดรอกไซด์ ความเข้มข้น 15% โดยน้ำหนัก (%wt) ที่อุณหภูมิ 100 °C เวลา 30 นาที (ศุภนิ และ รุ่งอรุณ, 2545) นำเส้นไอกไปล้างด้วยน้ำสะอาดและกรองแยกเส้นไข่ หลังจากนั้นจึงนำเส้นไข่ที่ได้ไปอบแห้งด้วยเตาอบลมร้อน (Oven) ที่อุณหภูมิ 106 °C เป็นเวลา 6 ชั่วโมง เมื่อได้เดินไปที่ผ่านการปรับสภาพแล้วนำเส้นไข่ผสมกับพาราฟอร์มอลดีไซด์ ในอัตราส่วน 1:1 ผสมให้เข้ากัน จากนั้นนำไปในบล็อกแม่พิมพ์แล้วขันรูปด้วยเครื่องอัดไฮดรอลิก โดยใช้แรงอัดประมาณ 1 N/mm² ที่อุณหภูมิ 150 °C เป็นเวลา 10 นาที (จรรยา, 2538) โดยกำหนดให้วัสดุคุณลักษณะเสียงจากไอกสำหรับใช้ในงานวิจัยนี้ ความหนา 2.5 , 5 cm และความหนาแน่น 100 , 150 , 200 kg/m³ งานวิจัยนี้คำนึงถึงความคงทนของเสียงงานโดยการกำหนดปริมาณคราบของบล็อกแม่พิมพ์สำหรับทำขึ้นงานให้คงที่ ค่าหนึ่ง (สัมพันธ์กับความหนาของรีบบัน) จากนั้นจึงได้ยกที่มวลที่สัมพันธ์กับความหนาแน่นของรีบบันใน การอัดเข้ารูปจะได้รีบบันที่มีความหนาแน่นตามต้องการ

การหาค่าสัมประสิทธิ์การคุณลักษณะเสียงและค่าสัมประสิทธิ์การลดเสียง

ความสามารถในการคุณลักษณะเสียงของวัสดุคุณลักษณะเสียงของบกอได้ด้วย ค่าสัมประสิทธิ์การคุณลักษณะเสียง (Absorption Coefficient, α) เป็นค่าที่รีบบันพังงานเสียงที่ตกลงบนบล็อกเสียงงานเดียวที่ถูกคุณลักษณะของวัสดุนั้น และ ค่าสัมประสิทธิ์การลดเสียง (Noise Reduction Coefficient, NRC) เป็นค่าเฉลี่ยเลขคณิตของค่าสัมประสิทธิ์การคุณลักษณะเสียง ที่ความถี่ 250 , 500, 1000 และ 2000 Hz การเปรียบเทียบความสามารถในการคุณลักษณะเสียง ของวัสดุชนิดต่างๆ จะใช้ค่า NRC ใน การเปรียบเทียบ

การหาค่าสัมประสิทธิ์การคุณลักษณะเสียงเพื่อนำไปคำนวณค่าสัมประสิทธิ์การลดเสียงของงานวิจัยนี้จะใช้ วิธีซองในเครื่องฟัน ตามมาตรฐาน ASTM E 1050-90 (Standard Test Method for Impedance and Absorption of Acoustical Materials Using a Tube, Two Microphones, and a Digital Frequency Analysis System) ซึ่งมีโครงสร้างของทดสอบดัง Figure 1 เมื่อได้ค่าสัมประสิทธิ์การคุณลักษณะเสียง แล้วจึงนำไปหาค่าสัมประสิทธิ์การลดเสียงของวัสดุแต่ละชิ้นเพื่อนำมาเปรียบเทียบกัน

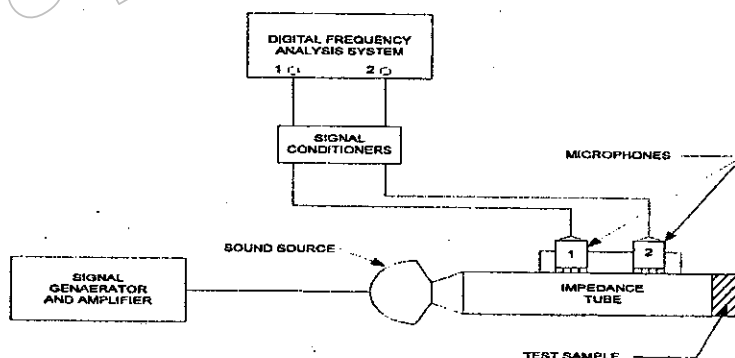


Figure 1. Experimental apparatus and instrumentation

ผลการทดลองและวิจารณ์

วัสดุดูดเสียงจากไยก็อกที่สร้างขึ้น จากการผสมกันของเส้นไยก็อกที่ผ่านการปรับสภาพแล้วกับ กาวญี่ปุ่นแล้วต่อในสัดส่วน 1:1 หลังจากนำไปอัดรีบูปด้วยเครื่องอัดโดยโครงภาพบ่ง วัสดุดูดเสียงที่ สร้างขึ้นมีลักษณะเป็นญี่ปุ่นกระบอกตามพิมพ์ขนาดเส้นผ่าศูนย์กลาง 3 cm ผิวน้ำขึ้นงานไม่เรียบงlad แสดงลักษณะของเด็นไยก็อก ภายในขึ้นงานจะมีลักษณะเป็นช่องเปิดเมื่อจากการขันหันกันอย่างไม่เป็นระเบียบ รองเส้นไยทำให้เกิดรอยในร่องวัสดุดูดเสียงเกิดคราบุรุนขึ้น Figure 2



Figure 2. Sound absorbing material from papyrus fiber

เมื่อนำวัสดุดูดเสียงจากไยก็อกมาหาค่าสัมประสิทธิ์การดูดเสียง และค่าสัมประสิทธิ์การลดเสียง ของวัสดุดูดเสียงได้ผลดังนี้

- 1. วัสดุดูดเสียงจากไยก็อกที่ความหนาเดียวกันเท่ากับ 2.5 cm และความหนาแน่นต่างกัน (100, 150 และ 200 kg/m³) พบว่า ความสามารถในการดูดเสียงที่ความถี่ต่างๆ มีค่าไม่เท่ากัน โดยวัสดุดูดเสียง เสียงที่สร้างขึ้นจะสามารถดูดเสียงที่ความถี่ 500 Hz ได้ดีที่สุด ($\alpha=0.86$) และลดต่ำลงอย่างรวดเร็วที่ความถี่ 1000 Hz ($\alpha=0.28$) และค่อยๆ เพิ่มขึ้นเมื่อความถี่สูงขึ้น ลักษณะการดูดเสียงที่ความถี่ต่างๆ นี้จะยังคง ปรากฏอยู่ถึงแม้ความหนาแน่นของวัสดุดูดเสียงจะเพิ่มขึ้นอย่างไรก็ได้สำหรับวัสดุดูดเสียงที่ความ หนาแน่น 200 kg/m³ พบว่าจะมีค่าสัมประสิทธิ์การดูดเสียงที่ความถี่ 4000 Hz สูงกว่าวัสดุดูดเสียงที่ความ หนาแน่น 100 และ 150 kg/m³ (Figure 3)

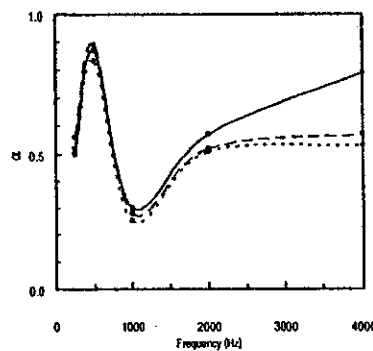


Figure 3. Variation of absorption coefficient with frequency for sound absorbing material from papyrus fiber thickness 2.5 cm by various density —— ,100 kg/m³; -+-- ,150 kg/m³; -·-·- ,200 kg/m³

2. รัศมีดูดกลืนเสียงจากไก่ที่ความหนาแน่นเดียวกัน ความหนาต่างกัน พบว่า เมื่อความหนาของรัศมีดูดกลืนเสียงเพิ่มขึ้นความสามารถในการดูดกลืนเสียงจะเพิ่มขึ้นด้วย ยกเว้นที่ความถี่ 2000 Hz ของรัศมีดูดกลืนเสียงจากไก่ที่ความหนาแน่น 100 kg/m³ และที่ความถี่ 4000 Hz ของรัศมีดูดกลืนเสียงจากไก่ความหนาแน่น 150 และ 200 kg/m³ กลับพบว่า รัศมีดูดกลืนเสียงที่มีความหนามาก (5 cm) จะดูดกลืนเสียงได้ดีอยกว่ารัศมีที่มีความหนาน้อย (2.5 cm) (Figure 4) ที่เป็นเห็นเนื้อหาจึงสามารถก่อการสั่นห้อง (coincidence) ที่รัศมีดูดกลืนเสียง เนื่องจากความถี่ของเสียงที่ต่ำกว่าที่บ่งบอกว่ามีความหนาแน่นของรัศมีดูดกลืนเสียงทำให้รัศมีเกิดการสั่นห้องย่างแรงและเกิดการสะท้อนหรือส่งผ่านเสียงออกจากชั้นงาน เป็นผลให้รัศมีดูดกลืนเสียงที่สร้างขึ้นสะท้อนหรือส่งผ่านเสียงได้มากกว่าจะเกิดการดูดกลืนเสียงที่ความถี่นั้น

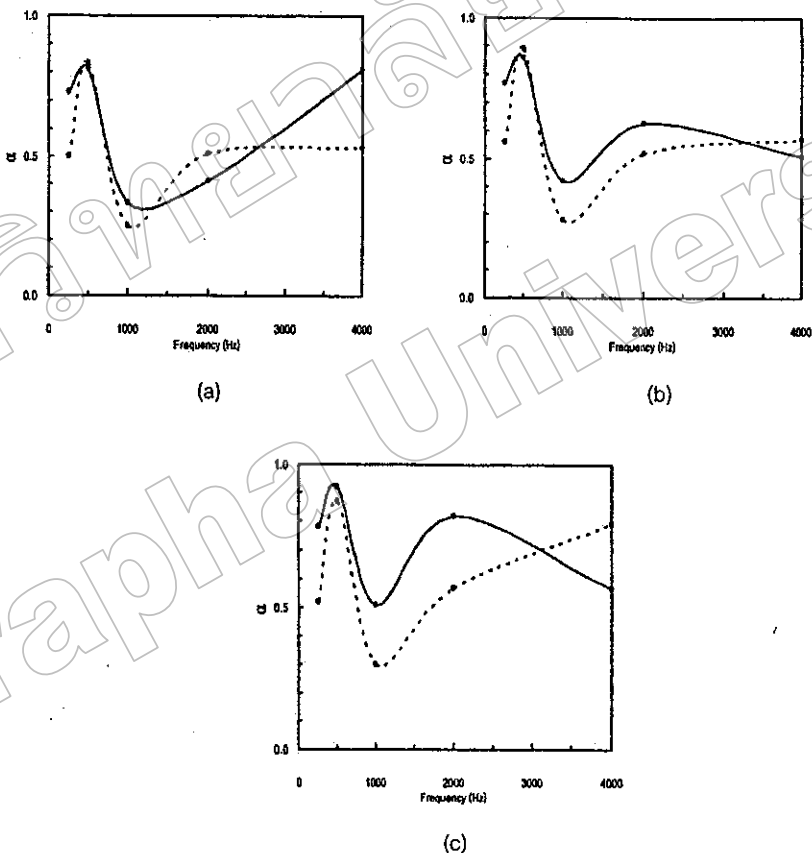


Figure 4. Variation of absorption coefficient with frequency for sound absorbing material from

papyrus fiber by various thickness ——, 2.5 cm; ——, 5 cm

(a) 100 kg/m³; (b) 150 kg/m³; (c) 200 kg/m³

3. เมื่อพิจารณาการกรูดกัลน์เสียงของวัสดุคุณลักษณะเสียงจากไยก ก ด้วยค่าสัมประสิทธิ์การลดเสียง (NRC) พบว่า ในกรณีความหนาแน่นของวัสดุคุณลักษณะเสียงเท่ากันจะพบว่าเมื่อความหนาของเพิ่มขึ้น ค่าสัมประสิทธิ์การลดเสียงจะมีค่าเพิ่มขึ้น และหากพิจารณาในกรณีความหนาเท่ากันจะพบว่าวัสดุคุณลักษณะเสียงที่ความหนา 5 cm เมื่อความหนาแน่นเพิ่มขึ้น ค่าสัมประสิทธิ์การลดเสียงจะมีค่าเพิ่มขึ้นด้วย ซึ่งต่างจาก วัสดุคุณลักษณะเสียงที่ความหนา 2.5 cm พนว่าค่าสัมประสิทธิ์การลดเสียงมีค่าใกล้เคียงกัน (Figure 5)

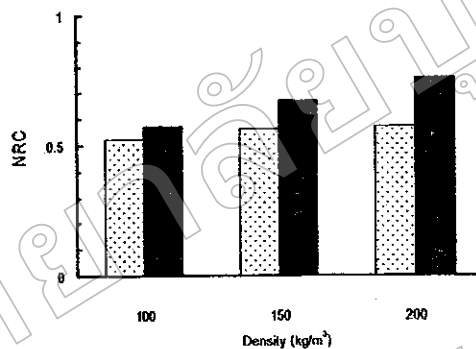


Figure 5. Variation of noise reduction coefficient with density for sound absorbing material from papyrus fiber by various thickness ■ .2.5 cm ■ .5 cm

สรุป

1. วัสดุคุณลักษณะเสียงจากไยกมีความสามารถในการกรูดกัลน์เสียงที่ความถี่ต่างๆ ไม่เท่ากัน ขึ้นกับ ความหนาและความหนาแน่นของวัสดุคุณลักษณะเสียง
2. วัสดุคุณลักษณะเสียงจากไยกสำหรับทุกความหนาและความหนาแน่นพบว่ามีความสามารถในการกรูดกัลน์เสียงที่ความถี่ 500 Hz ให้สูงสุดและคุณลักษณะเสียงความถี่ 1000 Hz ได้ต่ำสุด
3. ความหนาของวัสดุคุณลักษณะเสียงจากไยกมีผลต่อการเปลี่ยนแปลงค่าสัมประสิทธิ์การลดเสียงโดย ผู้อุปกรณ์เสียงที่ความหนา 5 cm ประสมประสิทธิ์การลดเสียงจะมีค่าเพิ่มขึ้นตามลำดับ
4. มีความเป็นไปได้ในการนำเส้นใยจากต้นกล้ามาสร้างเป็นวัสดุคุณลักษณะเสียง และสามารถนำไป ประยุกต์ใช้กับงานที่ต้องการควบคุมเสียงที่ความถี่ต่ำ เนื่อง การลดระดับเสียงที่เกิดจากห้องโถงโดย การบุรุษดูดกัลน์เสียงจากไยกให้ภายในผนังห้อง หรือห้องน้ำไปผสมกับปูนซีเมนต์สร้างเป็นกากเพชรกันเสียงเพื่อ ควบคุมเสียงจากการจราจร เป็นต้น

คำนิยม

งานวิจัยนี้ได้รับทุนสนับสนุนบางส่วนจากโครงการบัณฑิตศึกษา ฝึกอบรมและวิจัยด้านวิทยาศาสตร์ เทคโนโลยีและการบริหารจัดการสิ่งแวดล้อม ภายใต้การกำกับของโครงการพัฒนาบัณฑิตศึกษาและวิจัย ด้านวิทยาศาสตร์และเทคโนโลยี ทบทวนมหาวิทยาลัย

เอกสารอ้างอิง

ทีวีสุข พันธุ์เพ็ง, 2529. การพัฒนาแก้น้ำเสียทางเคมีทางเสียง การป้องกันและการแก้ไข. รายงานการฝึกอบรมเรื่อง การจัดการด้านสิ่งแวดล้อม วันที่ 21-25 เมษายน 2529, กองวิเคราะห์ผลกระบวนการสิ่งแวดล้อม สำนักงานคณะกรรมการสิ่งแวดล้อมแห่งชาติ.

นิรันดร์ วิจิตอนันต์, 2535. สมรรถนะในการลดระดับเสียงของวัสดุพูน. วิทยานิพนธ์ปริญญาโทสาขาศาสตร์มหาบัณฑิต, สาขาวิชาศาสตร์สิ่งแวดล้อม, บัณฑิตวิทยาลัย, มหาวิทยาลัยเกษตรศาสตร์.

ฝ่ายอาชีวอนามัย กองความมั่นคงสิ่งแวดล้อม, 2539. ปัจจดและโรคปอด. กรุงเทพฯ: สำนักอนามัย กระทรวงสาธารณสุข. แผ่นพับ.

วิวิทย์ จตุรภรณ์, 2538. පර්ටිගේලබර්ස්ප්ලිංග්වාන්ช්‍රාවිในการประยุกต์. วิศวกรรมสาร, ปีที่ 40 48-52.

วิวัฒน์ จุฑามิกษา, 2543. วิทยาศาสตร์เส้นใย. กรุงเทพฯ: อักษรภาษาพิมพ์.

ศุภนี สมบูรณ์วิทย์ และสุ่งอรุณ ประเสริฐวัสดุ, 2545. การผลิตวนวนความร้อนจากเส้นใยหินอ่อนแฟกและน้ำแข็งธรรมชาติ. บริษัทบ้านพนธ์ศึกษาการศาสตร์บัณฑิต, สาขาวิศวกรรมวัสดุ, มหาวิทยาลัยเกษตรศาสตร์.

สุทธินี สุทธิมฤทธิ์, 2533. ประศิทธิสภาพการลดระดับความดังของเสียงจากเศษสิ่งที่มีหัวใจ. วิทยานิพนธ์ปริญญาโทสาขาศาสตร์มหาบัณฑิต, สาขาวิชาศาสตร์สิ่งแวดล้อม, บัณฑิตวิทยาลัย, มหาวิทยาลัยเกษตรศาสตร์.

ASTM E-1050, 1992. Standard test method for impedance and absorption of acoustical materials using a tube, two microphone, and a digital frequency analysis system. Philadelphia: American Society for Testing and Materials.

Chao-Nan Wang & Jiunn-Hwan Teng, 2001. Experimental study of the absorption characteristics of some porous fibrous materials. Applied Acoustics, 62, 447-459.

Cunniff, P. 1977. Environmental Noise Pollution. New York: John Wiley & Sons.

Hariss, C.M. 1979. Handbook of Noise Control. New York: McGraw-Hill.

Pretzschner, J., & Rodriguez, R.M. 1999. Acoustic properties of rubber crumbs. Polymer Testing, 18, 81-92.

Sleikman, W., & Sullivan, J.W. 1976. Acoustic absorption and transmission-loss materials. In Handbook of Industrial Noise Control (pp. 146-206). New York: Industrial Press.



ขอรับรองว่าผลงานวิจัย

เรื่อง

อัตโนมัติกลีนเดิงจากไบโก

โดย

เกศ ศรีวัฒนพลด นิรันดร์ วิทิตอเน็ต

พิชญ์ ศรีวัฒน์ และสมพร ศรีวัฒนพลด

ได้ผ่านการพิจารณาจากคณะกรรมการผู้ทรงคุณวุฒิ

สาขาวิชาทรัพยากรธรรมชาติและสิ่งแวดล้อม

และได้นำเสนอในการประชุมงานวิชาการของมหาวิทยาลัยเกรียงศาสตร์ ครั้งที่ 45

ระหว่างวันที่ 30 มกราคม - 2 กุมภาพันธ์ 2550

(ศาสตราจารย์ ดร. ศุภุมาน พนิชศักดิ์พัฒนา)

รักษาการแทนรองอธิการบดีฝ่ายวิชาการ

ประธานคณะกรรมการดำเนินงานจัดการประชุมงานวิชาการ ครั้งที่ 45

สาขาวิชาระบบทรัพยาภิบาลและสิ่งแวดล้อม

รายชื่อผู้ทรงคุณวุฒิภายในมหาวิทยาลัยธรรมศาสตร์

- ภาควิชาภาษาไทย คณะภาษาต่างประเทศ 1. อุรุพงษ์ งามนวน
 ภาควิชา房地工程และนิเทศศาสตร์ คณะสถาปัตย์ 2. ประดิม ชัยใจ
 ภาควิชาชีวเคมีศาสตร์ทาง化學 คณะปัจจัย 3. เศษฐพงษ์ แสงสมกันต์ 4. สุนันช์ กังวินดา
 ภาควิชาพายส์สตัฟน์ คณะปัจจัย 5. ชุมพล ไชยว่อง 6. วรรช์ พากเพียร
 ภาควิชาการจัดการป่าไม้ คณะ환경ศาสตร์ 7. ปิยะ พัฒน์เมธี 8. วิทัชร์ งามนา 9. จิรภานุต คุณอักษณ์
 10. วุฒิพงษ์ หั้นนิรันดร์ 11. อัตน์ ชูสุวัฒ
 ภาควิชาชีววิทยาไม้ คณะนานาศาสตร์ 12. ศักดิ์ มากอต 13. เศร้า วิรัชรัตน์ 14. นีติ ภูมิภาคันต์
 15. รองศาสตราจุณลักษณ์ 16. วีระยุน เอียดทอง
 ภาควิชาความยั่งยืนภัณฑ์ คณะมนุษยศาสตร์ 17. ธนาธร ชัยพานิชวงศ์ 18. ภานุชรี พิรุณพิริยะร์
 ภาควิชาหวานน้ำผึ้งวิทยา คณะมนุษยศาสตร์ 19. พงษ์ ภัชรินทร์ 20. รุ่งเรือง พูลศิริ 21. ลดาภรณ์ พ่วงดี
 22. สาทิต ตีกัลสิงห์
 ภาควิชาอิทธิพลป่าไม้ คณะ환경ศาสตร์ 23. วันชัย อรุณประภากัน
 ภาควิชาอนุรักษ์วิทยา คณะนานาศาสตร์ 24. ศาราที ลมพันธ์ 25. นภาวรรณ ฐานะกาญจน์
 26. สารุษ จันดี 27. สิทธิรักษ์ ตันตระเสถียร
 ภาควิชาพิสิทธิ์ คณะวิทยาศาสตร์ 28. นาฏปุริ ลูกธีศรี 29. วีระ วัฒนาศักดิ์
 ภาควิชาชีววิทยาศาสตร์สิ่งแวดล้อม คณะวิทยาศาสตร์ 30. บงกชวิชญ์ ใจยิ่น 31. ประเพิลศ ชัยรังษ์มนีนุช
 32. พัฒนา อนันต์กานต์
 ภาควิชาชีววิทยอมหัศพยากรณ์ คณะชีววิทยาศาสตร์ 33. ชัยวัฒน์ บอยนาทันต์ 34. มุนบางกอก ศรีวงศิดานันท์
 35. ศรีรัตน์ ลิบวัฒนาภาน
 ภาควิชาชีวกรรมสิ่งแวดล้อม คณะชีวกรรมศาสตร์ 36. จิรา ภูมิสุริพงษ์ 37. นันดาไชย จิตต์เจริญ
 38. ชาติ เจริญไชยศรี 39. พพสัน พูริชัยฤทธิ์
 40. วีระ เสียงไชยสิริก์ 41. สุญญา ลิลวิทยาภกนี
 42. สุรัติ หล่อประเสริฐ 43. นิตา วงศ์ชื่น

รายชื่อผู้ทรงคุณวุฒิภายนอกมหาวิทยาลัยธรรมศาสตร์

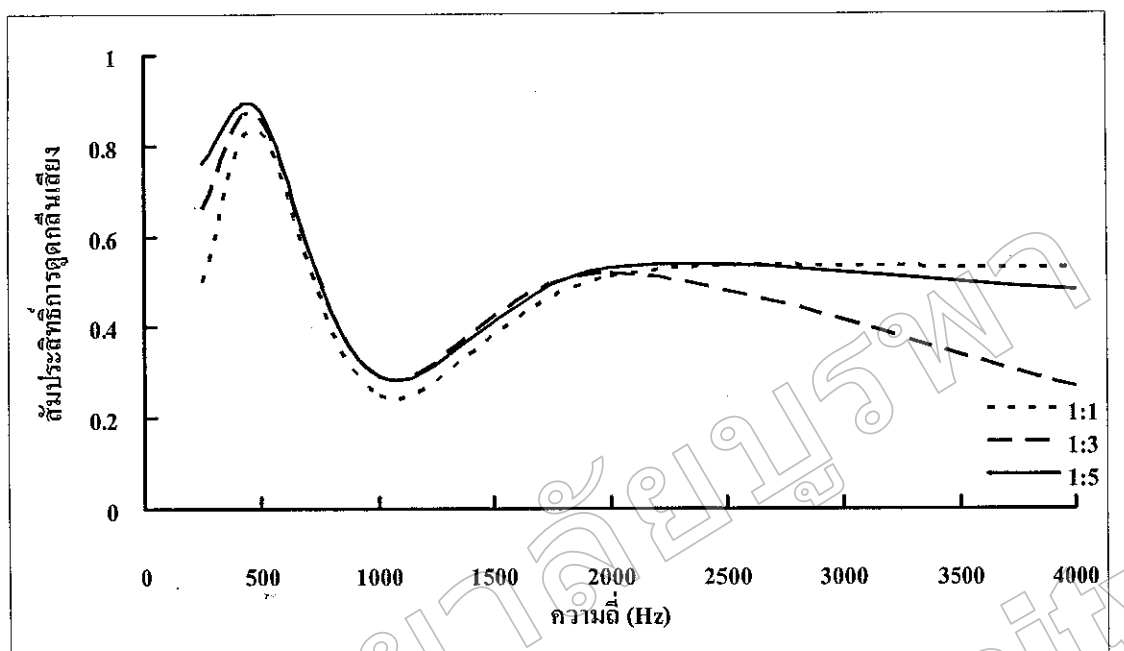
- | | |
|-------------------------|--------------------|
| 1. นิพนธ์ ลังธรรม | ผู้เชี่ยวชาญชั้นนำ |
| 2. สมศักดิ์ ฐานวงศ์ | ผู้เชี่ยวชาญชั้นนำ |
| 3. บุญวงศ์ ไพบูลย์สำราญ | ผู้เชี่ยวชาญชั้นนำ |
| 4. ลุเทพ จันทร์สุขยอด | ผู้เชี่ยวชาญชั้นนำ |

ภาคผนวก ค

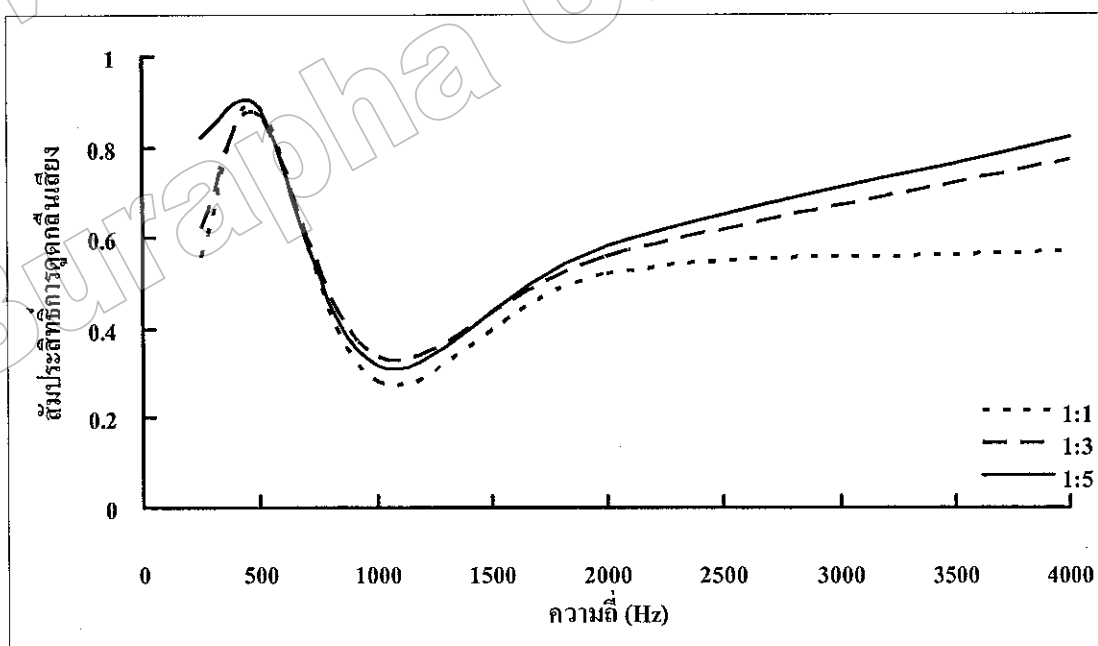
กราฟแสดงความสัมพันธ์ระหว่างสัมประสิทธิ์การคุณภาพเสียงกับความถี่ของตัวแปรต่าง ๆ
และกราฟแสดงความสัมพันธ์ระหว่างสัมประสิทธิ์การลดเสียงของตัวแปรต่าง ๆ

ตารางที่ 12 ค่าสัมประสิทธิ์การดูดกลืนเสียงและค่าสัมประสิทธิ์การลดเสียงของแผ่นดูดกลืนเสียง
จากไอกก ที่ความหนา 2.5 cm

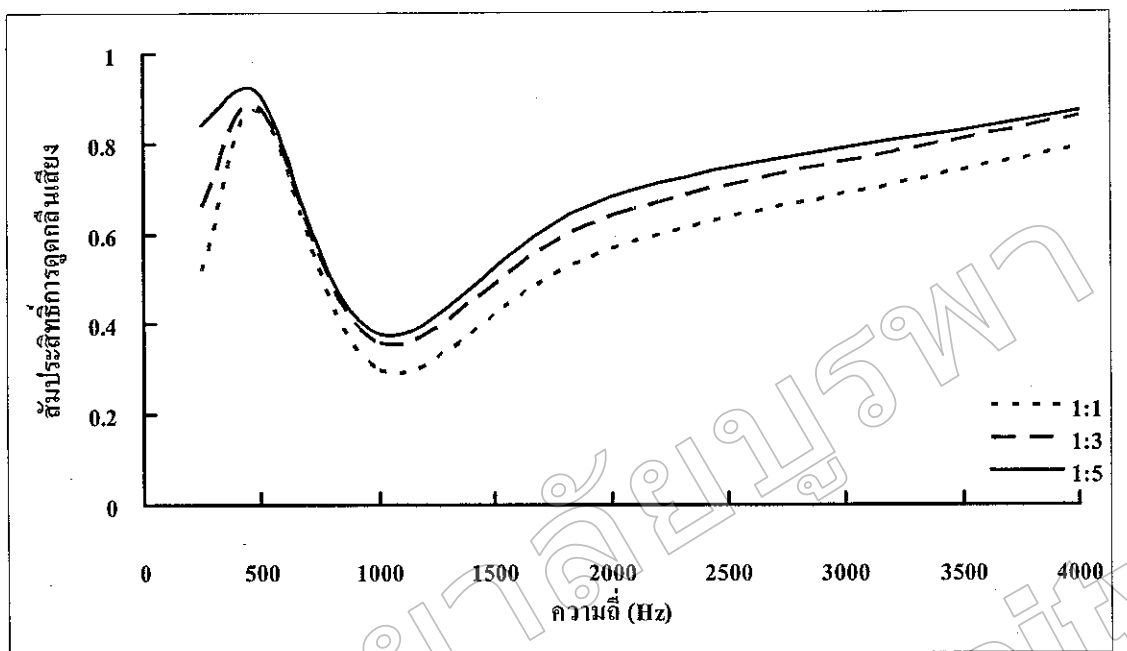
อัตราส่วน การ: ไอกก	ความหนาแน่น (Kg/ m ³)	ค่าสัมประสิทธิ์การดูดกลืนเสียง						ค่าสัมประสิทธิ์ การลดเสียง
		250	500	1000	2000	4000		
1: 1	100	0.50	0.83	0.25	0.51	0.53	0.52	
	150	0.56	0.89	0.28	0.52	0.57	0.56	
	200	0.52	0.87	0.30	0.57	0.79	0.57	
1: 3	100	0.66	0.86	0.29	0.52	0.27	0.58	
	150	0.62	0.87	0.34	0.56	0.77	0.60	
	200	0.66	0.88	0.36	0.64	0.86	0.64	
1: 5	100	0.76	0.88	0.29	0.53	0.48	0.62	
	150	0.82	0.89	0.32	0.58	0.82	0.65	
	200	0.84	0.91	0.38	0.68	0.87	0.70	



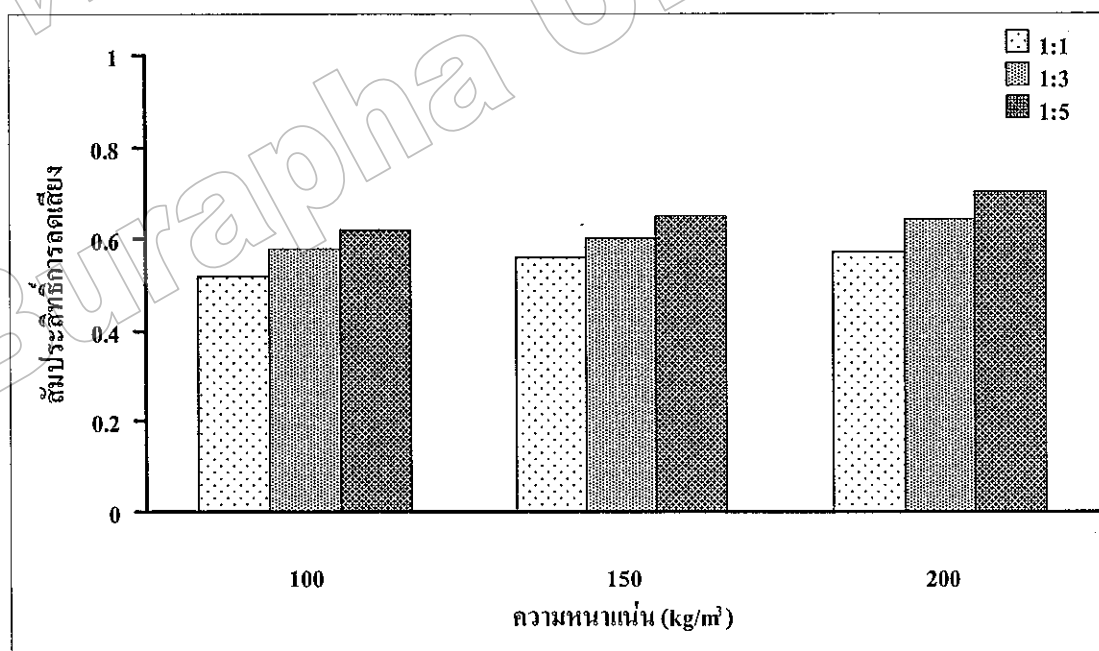
ภาพที่ 20 ความสัมพันธ์ระหว่างสัมประสิทธิ์การดูดกลืนเสียงกับความถี่ ที่อัตราส่วนระหว่าง
การยูเรียฟอร์มัลตีไซค์ต่อไอกกต่างกัน เมื่อความหนาของแผ่นดูดกลืนเสียงเท่ากับ 2.5 cm
ความหนาแน่น 100 kg/m^3



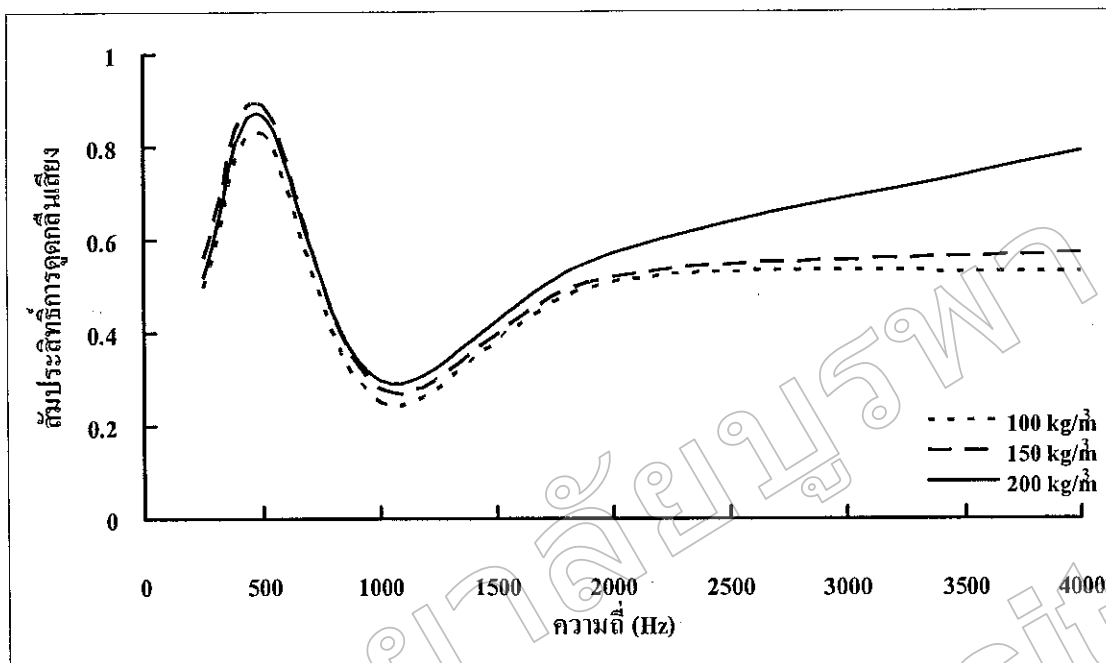
ภาพที่ 21 ความสัมพันธ์ระหว่างสัมประสิทธิ์การดูดกลืนเสียงกับความถี่ ที่อัตราส่วนระหว่าง
การยูเรียฟอร์มัลตีไซค์ต่อไอกกต่างกัน เมื่อความหนาของแผ่นดูดกลืนเสียงเท่ากับ 2.5 cm
ความหนาแน่น 150 kg/m^3



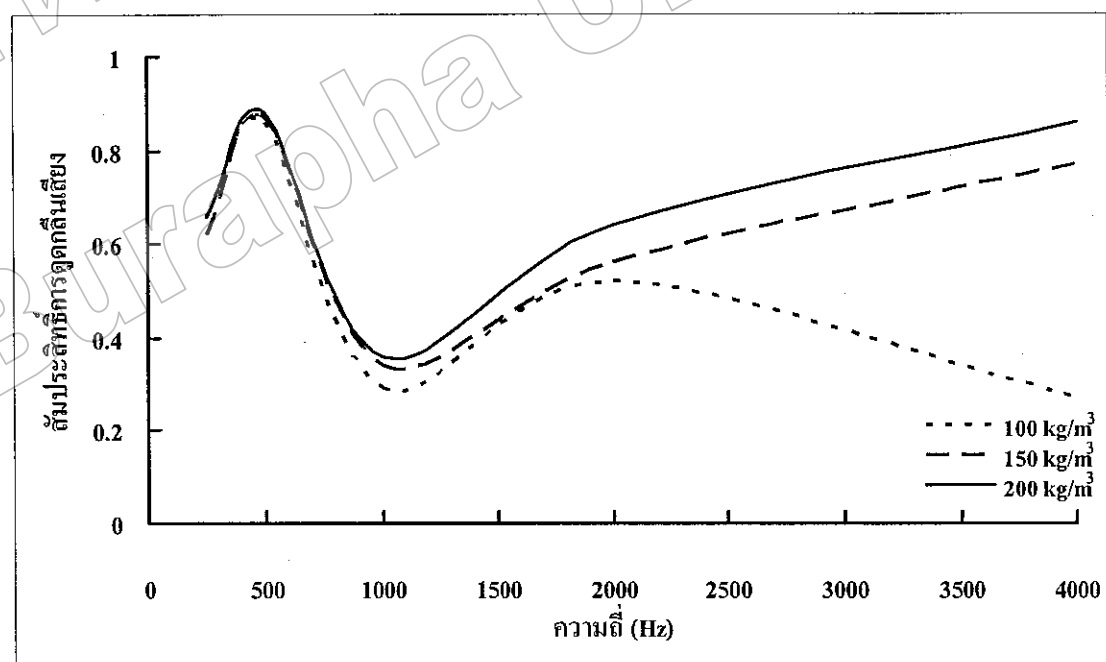
ภาพที่ 22 ความสัมพันธ์ระหว่างสัมประสิทธิ์การดูดซับเสียงกับความถี่ ที่อัตราส่วนระหว่าง
กาวยูเรียฟอร์มมอลดี้ไอค์ต่อไอกกต่างกัน เมื่อความหนาของแผ่นดูดซับเสียงเท่ากับ 2.5 cm
ความหนาแน่น 200 kg/m³



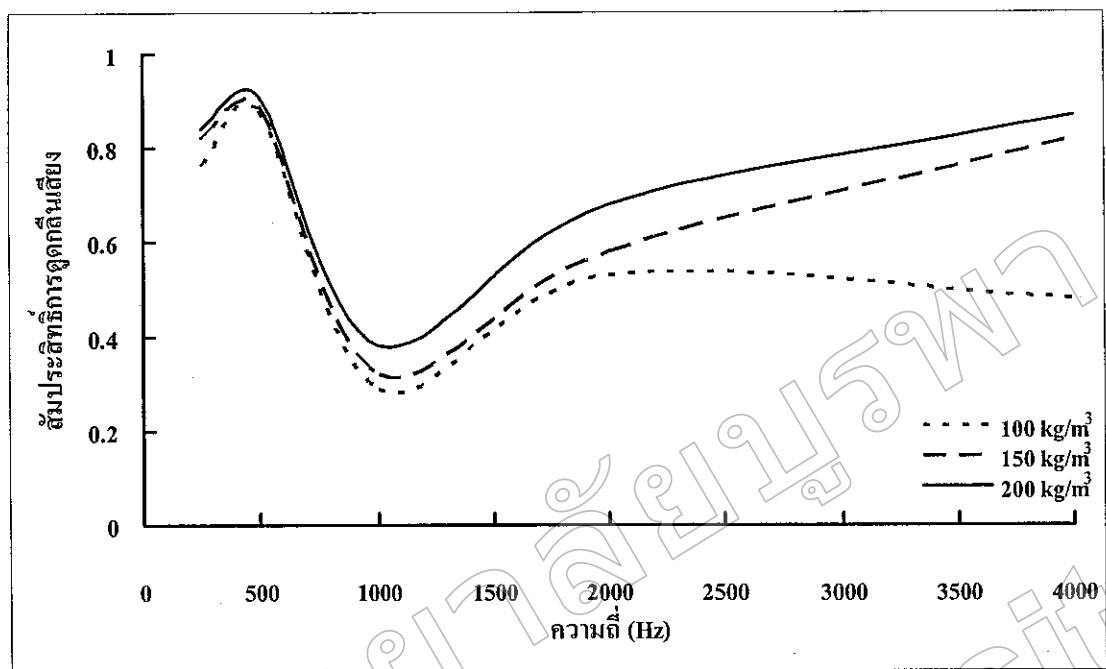
ภาพที่ 23 ความสัมพันธ์ระหว่างสัมประสิทธิ์การลดเสียงกับความหนาแน่น ที่อัตราส่วนระหว่าง
กาวยูเรียฟอร์มมอลดี้ไอค์ต่อไอกกต่างกัน เมื่อความหนาของแผ่นดูดซับเสียงจากไอกก
เท่ากับ 2.5 cm



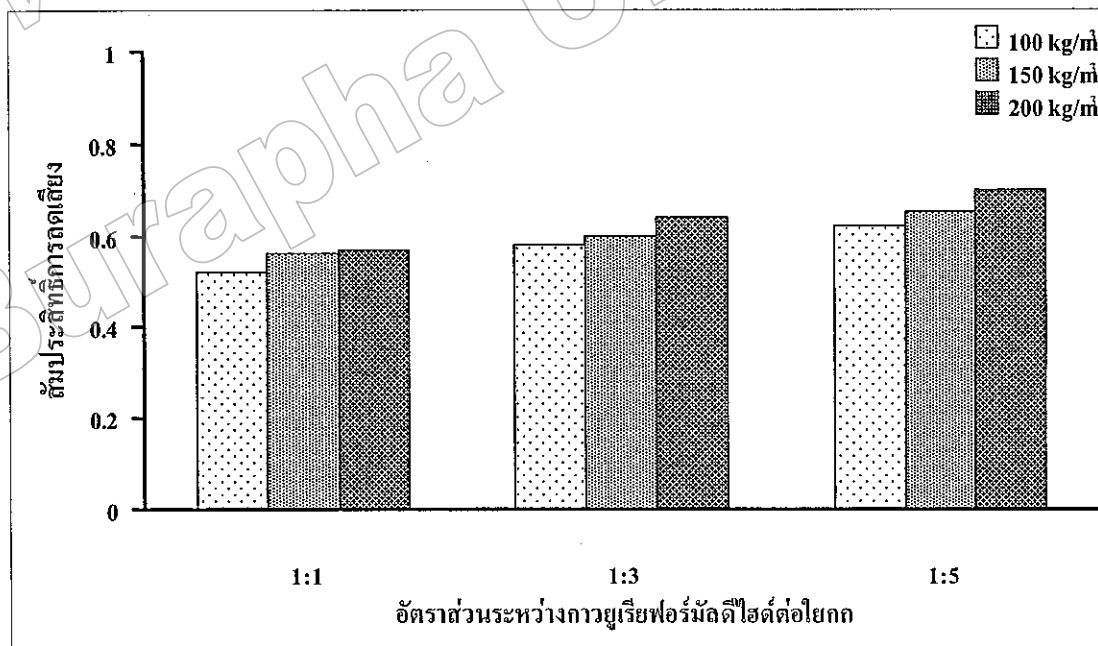
ภาพที่ 24 ความสัมพันธ์ระหว่างสัมประสิทธิ์การดูดกลืนเสียงกับความถี่ที่ความหนาแน่นของแผ่นดูดกลืนเสียงจากไอกกต่างกัน เมื่ออัตราส่วนระหว่างความถี่เริ่มฟอร์มัลดีไซค์ต่อไอกกเท่ากับ 1:1 ความหนา 2.5 cm



ภาพที่ 25 ความสัมพันธ์ระหว่างสัมประสิทธิ์การดูดกลืนเสียงกับความถี่ที่ความหนาแน่นของแผ่นดูดกลืนเสียงจากไอกกต่างกัน เมื่ออัตราส่วนระหว่างความถี่เริ่มฟอร์มัลดีไซค์ต่อไอกกเท่ากับ 1:3 ความหนา 2.5 cm



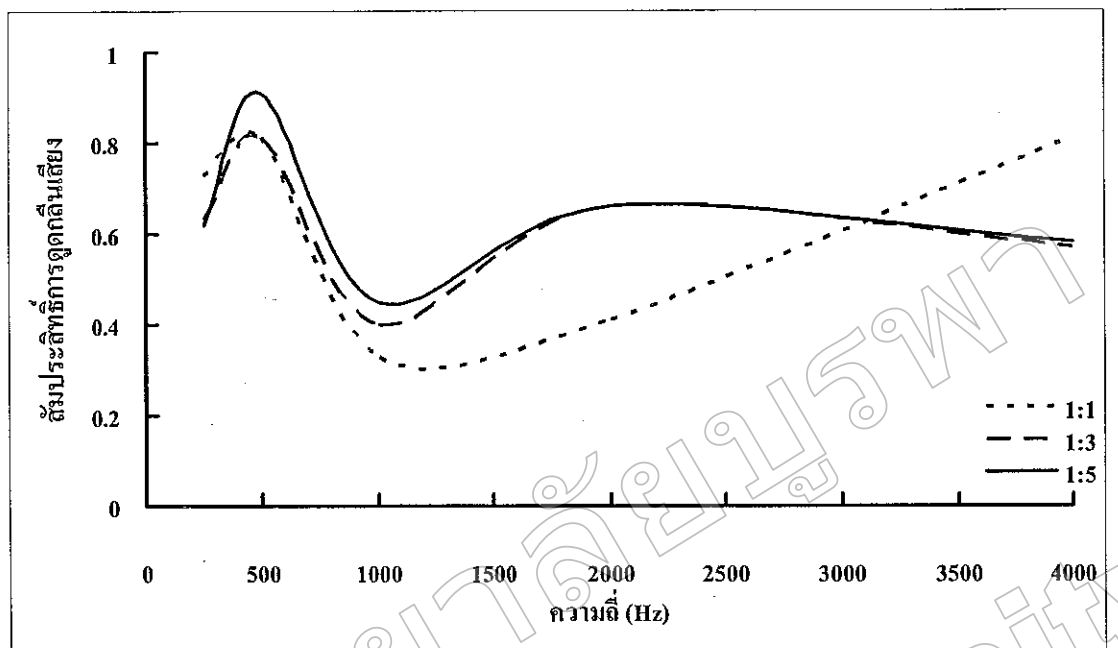
ภาพที่ 26 ความสัมพันธ์ระหว่างสัมประสิทธิ์การดูดกลืนเสียงกับความถี่ ที่ความหนาแน่นของแผ่นดูดกลืนเดียวกันไม่ต่างกัน เมื่ออัตราส่วนระหว่างความเรี่ยฟอร์มัลดีไซด์ต่อไอกกเท่ากับ 1:5 ความหนา 2.5 cm



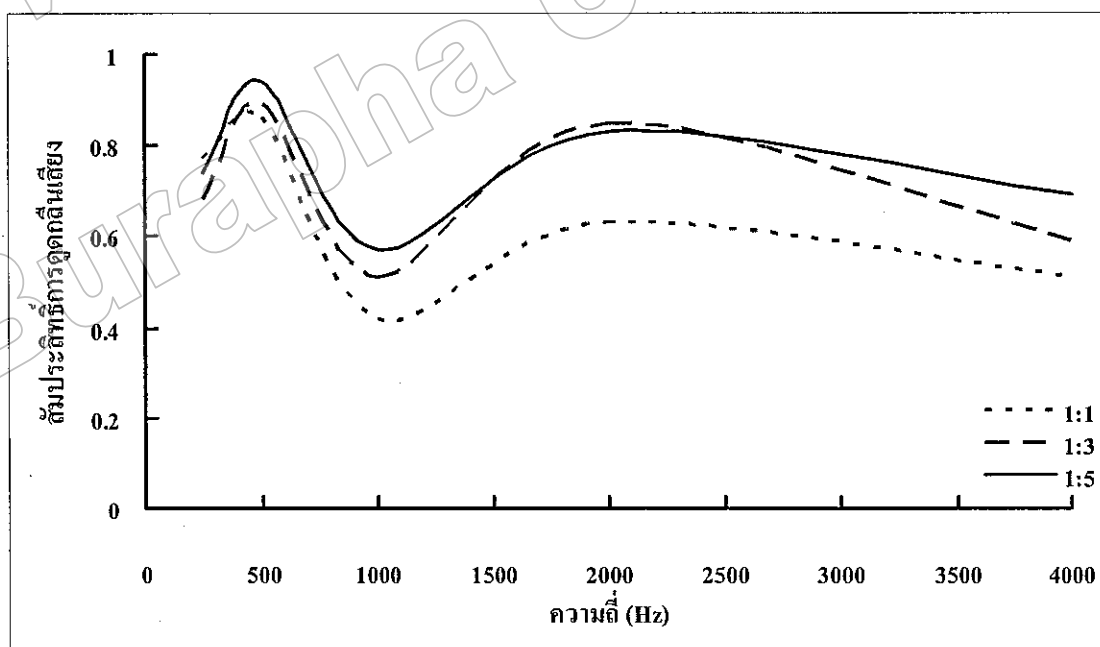
ภาพที่ 27 ความสัมพันธ์ระหว่างสัมประสิทธิ์การลดเสียงกับอัตราส่วนระหว่างความเรี่ยฟอร์มัลดีไซด์ต่อไอกก ที่ความหนาแน่นต่างกัน เมื่อความหนาของแผ่นดูดกลืนเสียงจากไอกกเท่ากับ 2.5 cm

ตารางที่ 13 ค่าสัมประสิทธิ์การดูดกลืนเสียงและค่าสัมประสิทธิ์การลดเสียงของแผ่นดูดกลืนเสียง
จากไยอก ที่ความหนา 5.0 cm

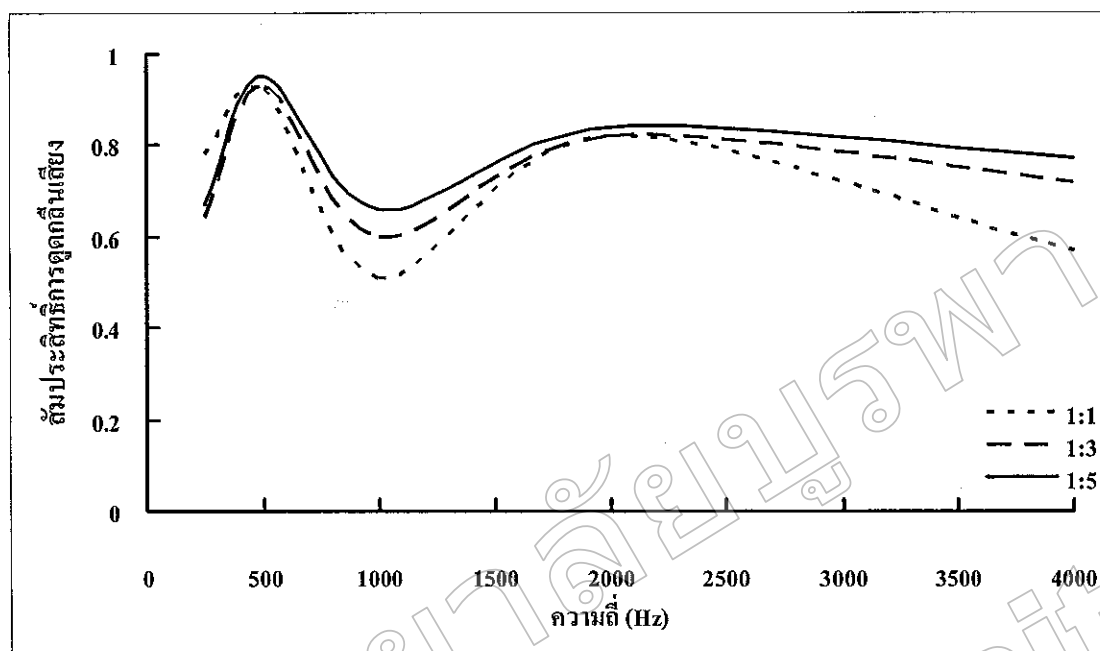
อัตราส่วน การ: ไยอก	ความหนาแน่น (Kg/m ³)	ค่าสัมประสิทธิ์การดูดกลืนเสียง						ค่าสัมประสิทธิ์ การลดเสียง
		250	500	1000	2000	4000		
1: 1	100	0.73	0.81	0.33	0.41	0.81	0.57	
	150	0.77	0.86	0.42	0.63	0.51	0.67	
	200	0.78	0.92	0.51	0.82	0.57	0.76	
1: 3	100	0.63	0.81	0.40	0.66	0.57	0.63	
	150	0.68	0.89	0.51	0.85	0.59	0.73	
	200	0.64	0.93	0.60	0.82	0.72	0.75	
1: 5	100	0.62	0.91	0.45	0.66	0.58	0.66	
	150	0.74	0.94	0.57	0.83	0.69	0.77	
	200	0.67	0.95	0.66	0.84	0.77	0.78	



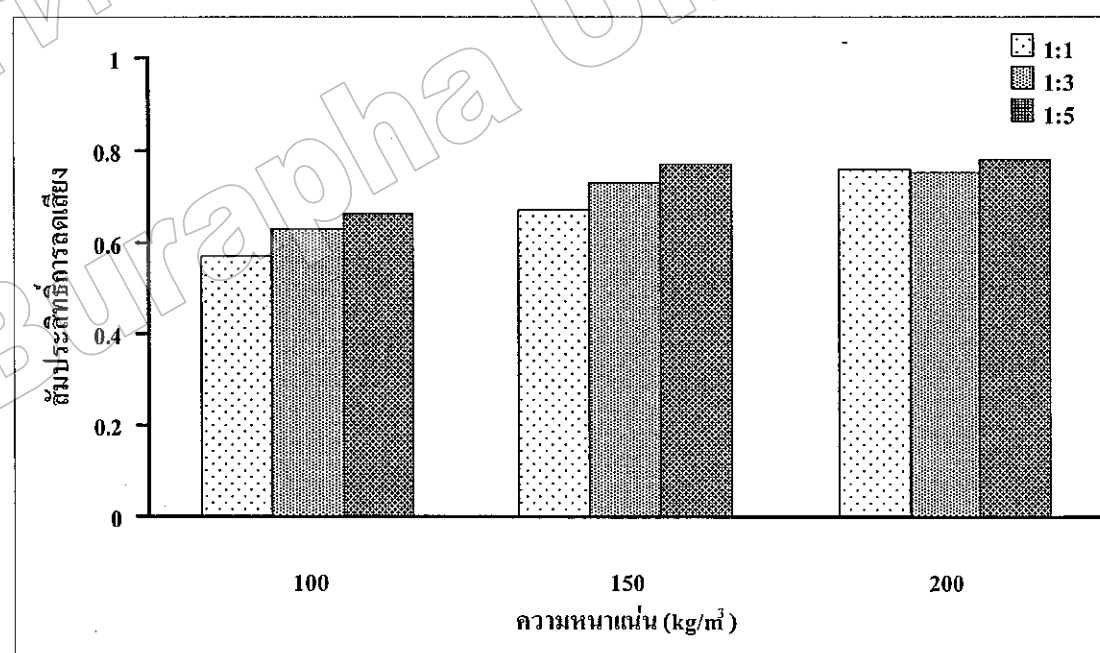
ภาพที่ 28 ความสัมพันธ์ระหว่างสัมประสิทธิ์การดูดกลืนเสียงกับความถี่ ที่อัตราส่วนระหว่าง
ความถี่เรียฟอร์มัลดีไซด์ต่อไอกกต่างกัน เมื่อความหนาของแผ่นดูดกลืนเสียงเท่ากับ 5.0 cm
ความหนาแน่น 100 kg/m^3



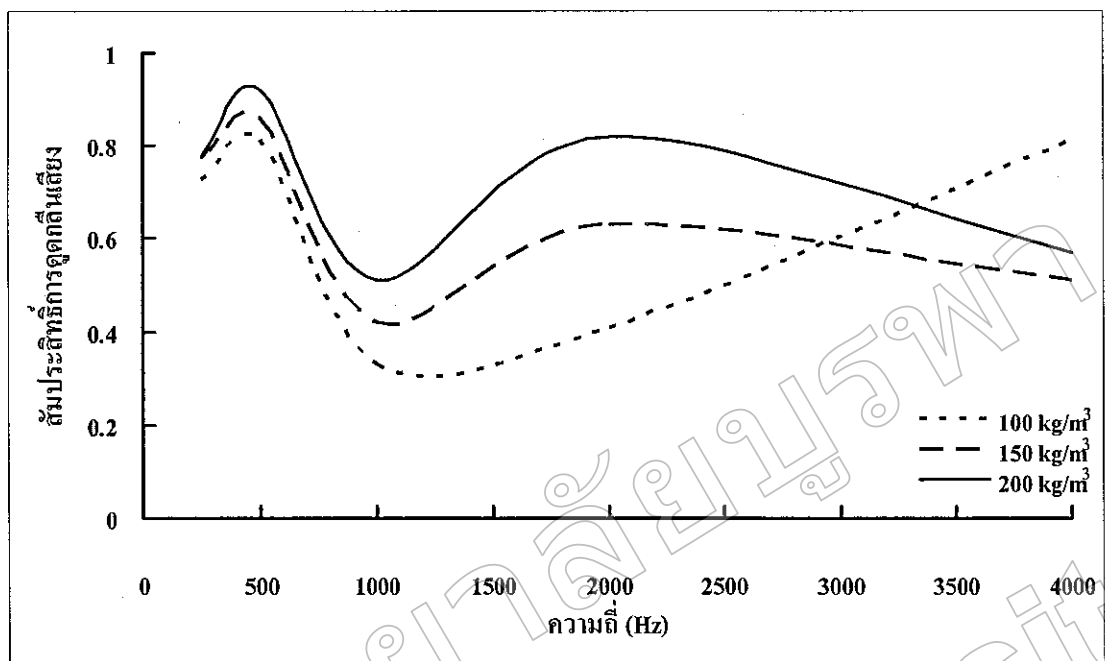
ภาพที่ 29 ความสัมพันธ์ระหว่างสัมประสิทธิ์การดูดกลืนเสียงกับความถี่ ที่อัตราส่วนระหว่าง
ความถี่เรียฟอร์มัลดีไซด์ต่อไอกกต่างกัน เมื่อความหนาของแผ่นดูดกลืนเสียงเท่ากับ 5.0 cm
ความหนาแน่น 150 kg/m^3



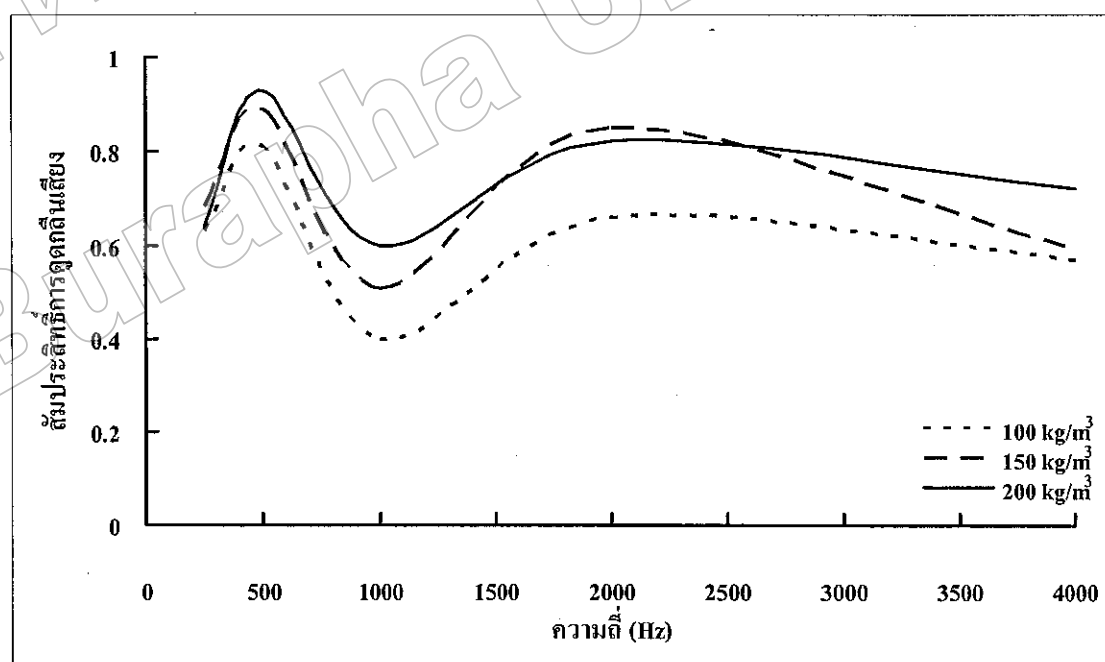
ภาพที่ 30 ความสัมพันธ์ระหว่างสัมประสิทธิ์การดูดเสียงกับความถี่ ที่อัตราส่วนระหว่าง
กาวยูเรียฟอร์มัลดีไซด์ต่อไอกกต่างกัน เมื่อความหนาของแผ่นดูดเสียงเท่ากับ 5.0 cm
ความหนาแน่น 200 kg/m³



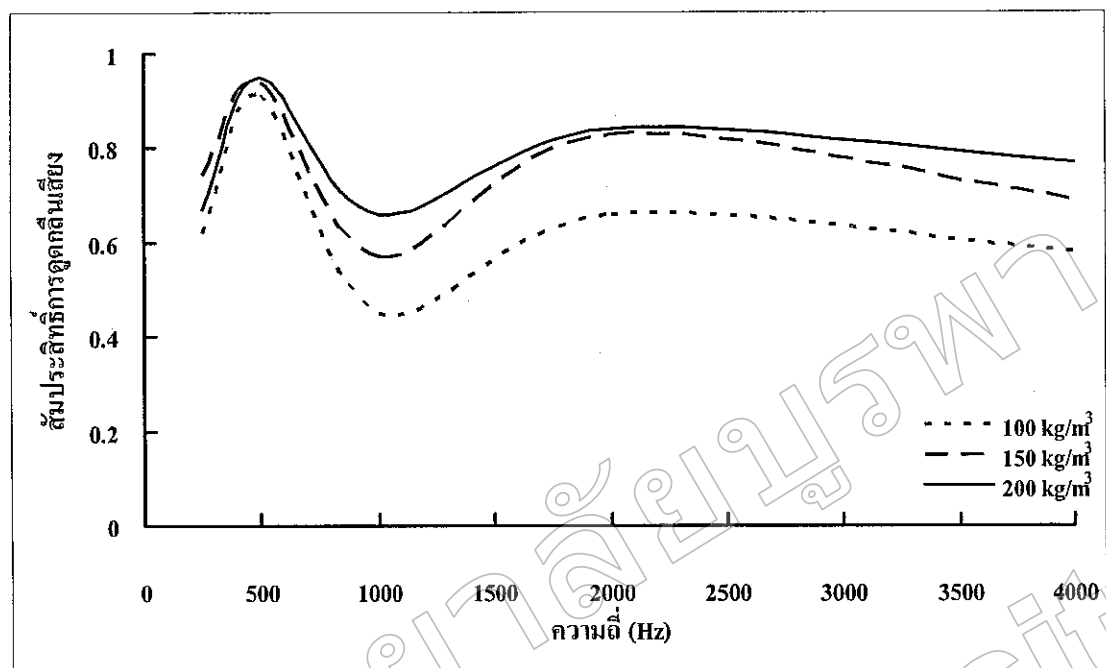
ภาพที่ 31 ความสัมพันธ์ระหว่างสัมประสิทธิ์การดูดเสียงกับความหนาแน่นที่อัตราส่วนระหว่าง
กาวยูเรียฟอร์มัลดีไซด์ต่อไอกกต่างกัน เมื่อความหนาของแผ่นดูดเสียงจากไอกก
เท่ากับ 5.0 cm



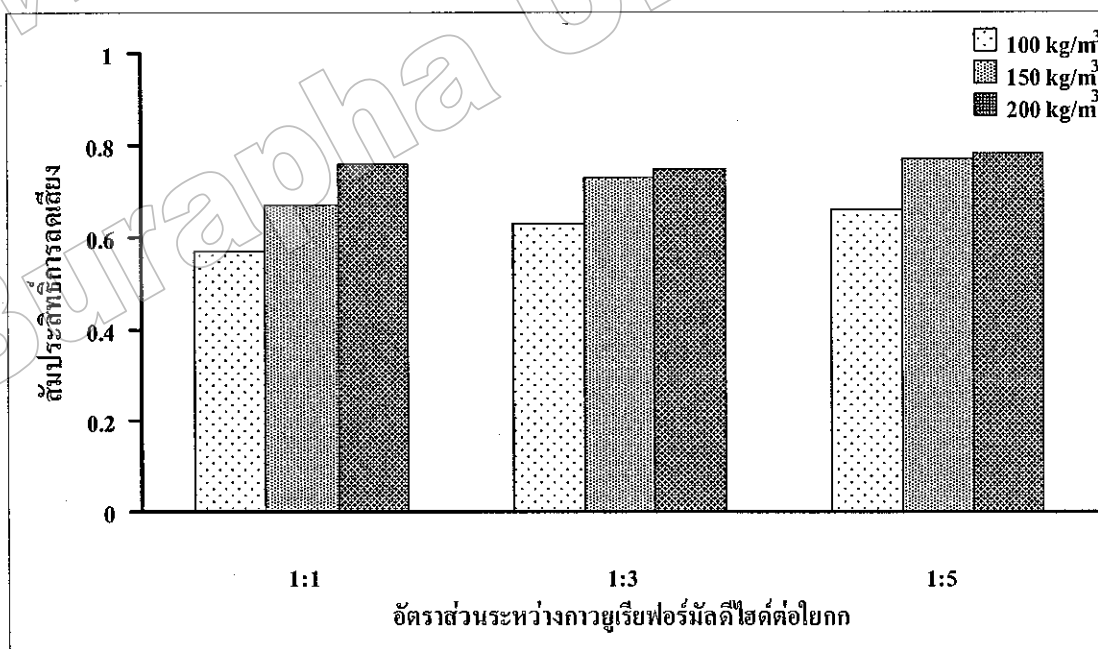
ภาพที่ 32 ความสัมพันธ์ระหว่างสัมประสิทธิ์การดูดกลืนเสียงกับความถี่ที่ความหนาแน่นของแผ่นดูดกลืนเสียงจากไอกกต่างกัน เมื่ออัตราส่วนระหว่างภาวะเรียฟอร์มัลดีไซด์ต่อไอกกเท่ากับ 1: 1 ความหนา 5.0 cm



ภาพที่ 33 ความสัมพันธ์ระหว่างสัมประสิทธิ์การดูดกลืนเสียงกับความถี่ที่ความหนาแน่นของแผ่นดูดกลืนเสียงจากไอกกต่างกัน เมื่ออัตราส่วนระหว่างภาวะเรียฟอร์มัลดีไซด์ต่อไอกกเท่ากับ 1: 3 ความหนา 5.0 cm



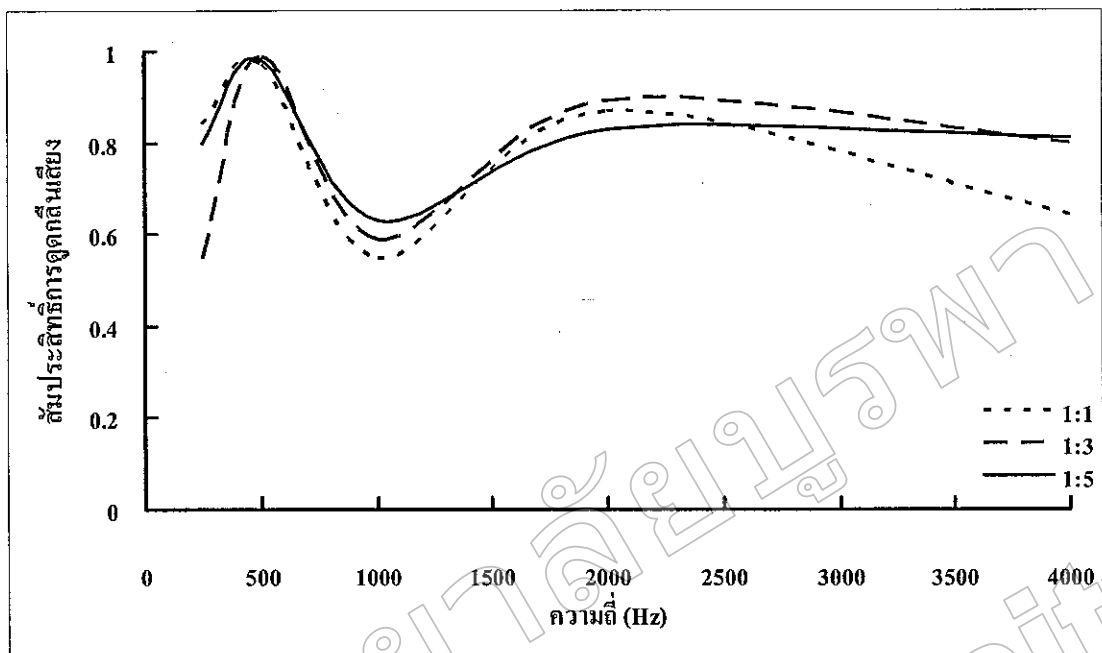
ภาพที่ 34 ความสัมพันธ์ระหว่างสัมประสิทธิ์การดูดกลืนเสียงกับความถี่ที่ความหนาแน่นของแผ่นดูดกลืนเสียงจากไยกต์ต่างกัน เมื่ออัตราส่วนระหว่างความถี่ฟอร์มัลตีไซด์ต่อไยกต์เท่ากับ 1:5 ความหนา 5.0 cm



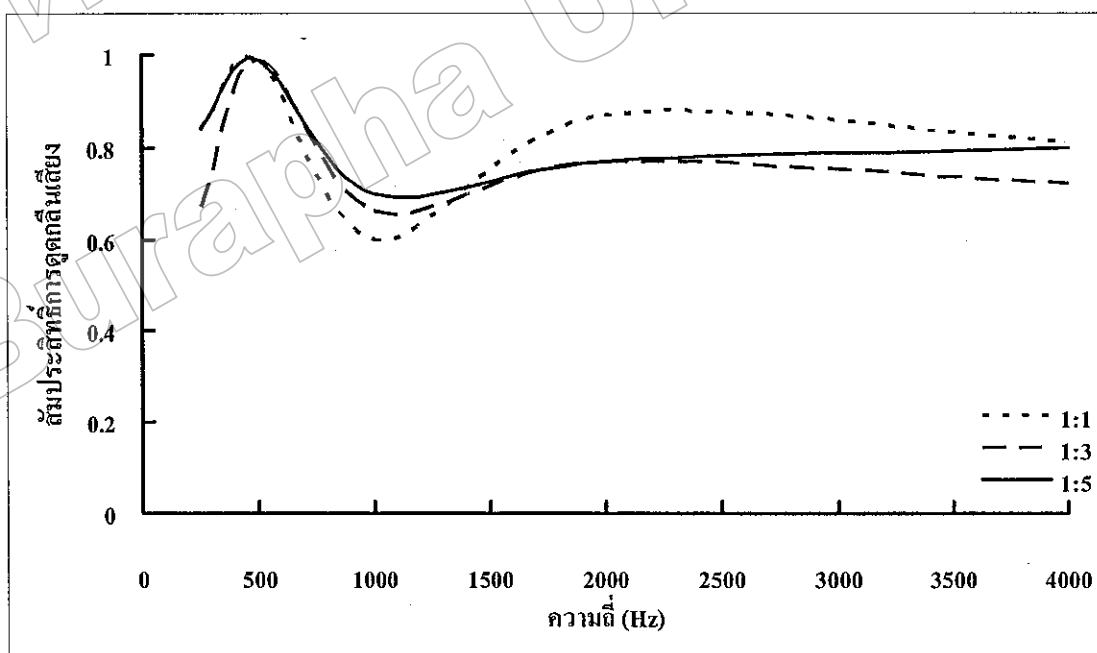
ภาพที่ 35 ความสัมพันธ์ระหว่างสัมประสิทธิ์การลดเสียงกับอัตราส่วนระหว่างความถี่ฟอร์มัลตีไซด์ต่อไยกต์ที่ความหนาแน่นต่างกัน เมื่อความหนาของแผ่นดูดกลืนเสียงจากไยกต์เท่ากับ 5.0 cm

ตารางที่ 14 ค่าสัมประสิทธิ์การคุณลักษณะเสียงและค่าสัมประสิทธิ์การลดเสียงของแผ่นดูดลืนเสียง
จากไขกอก ที่ความหนา 7.5 cm

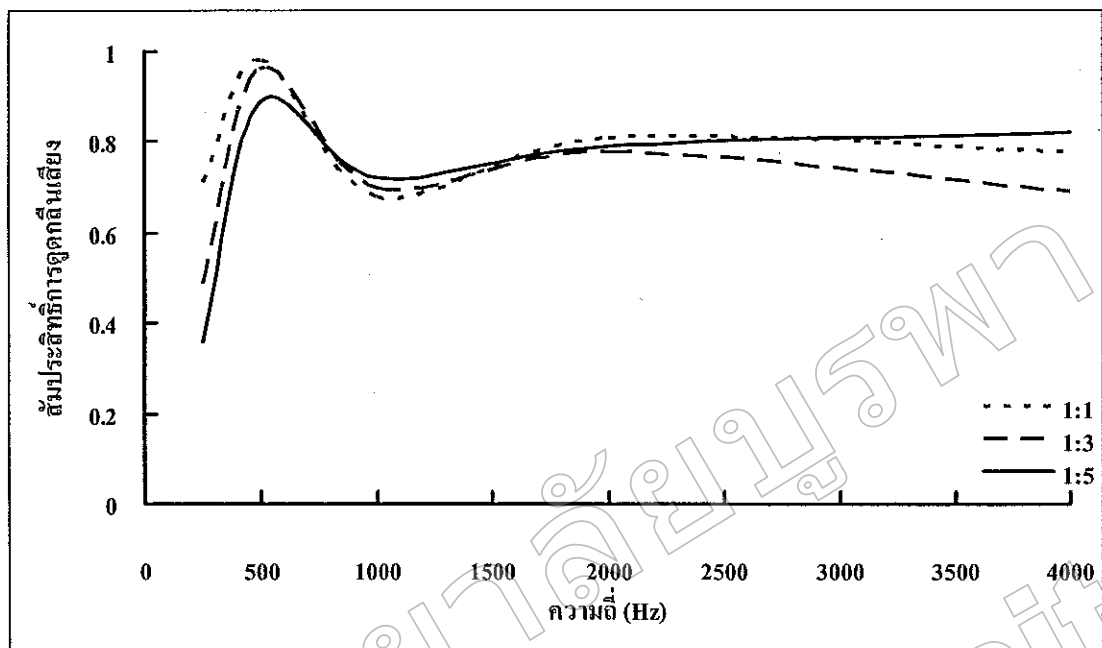
อัตราส่วน กาว: ไขกอก	ความหนาแน่น (Kg/ m ³)	ค่าสัมประสิทธิ์การคุณลักษณะเสียง						ค่าสัมประสิทธิ์ การลดเสียง
		250	500	1000	2000	4000		
1: 1	100	0.84	0.97	0.55	0.87	0.64	0.81	
	150	0.84	0.99	0.60	0.87	0.81	0.83	
	200	0.71	0.98	0.68	0.81	0.78	0.80	
1: 3	100	0.55	0.99	0.59	0.89	0.80	0.76	
	150	0.67	0.99	0.66	0.77	0.72	0.77	
	200	0.49	0.96	0.70	0.78	0.69	0.73	
1: 5	100	0.80	0.98	0.63	0.83	0.81	0.81	
	150	0.84	0.99	0.70	0.77	0.80	0.83	
	200	0.56	0.89	0.72	0.79	0.82	0.69	



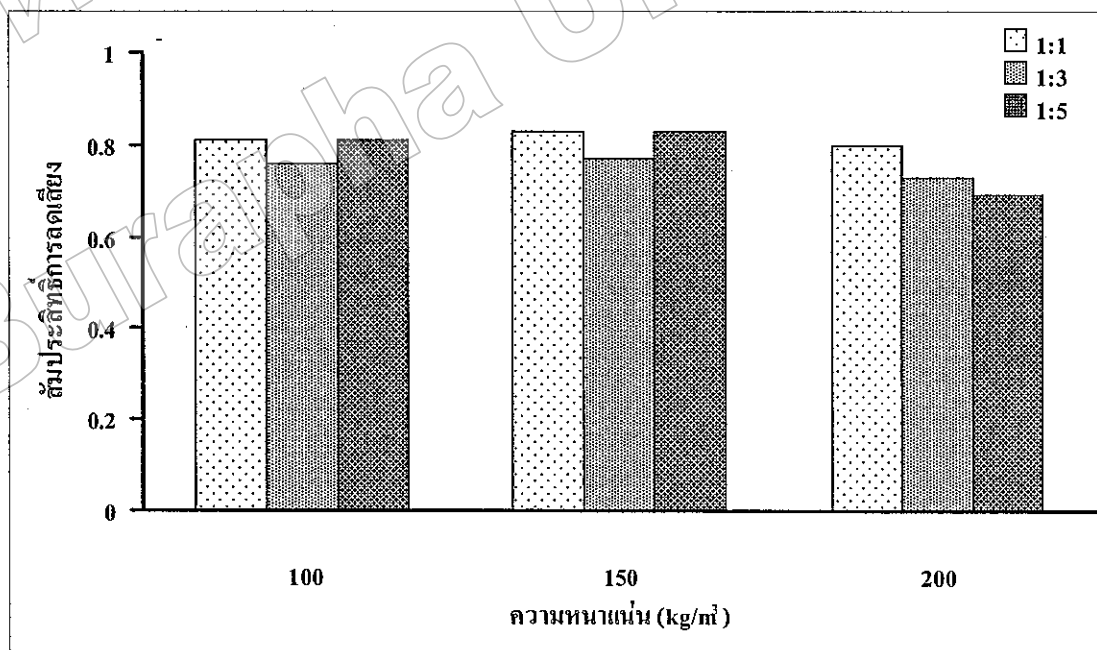
ภาพที่ 36 ความสัมพันธ์ระหว่างสัมประสิทธิ์การดูดกลืนเสียงกับความถี่ที่อัตราส่วนระหว่าง
ความหนาแน่นของวัสดุต่อไชค์ต่อไอกกต่างกัน เมื่อความหนาของแผ่นดูดกลืนเสียงเท่ากับ 7.5 cm
ความหนาแน่น 100 kg/m^3



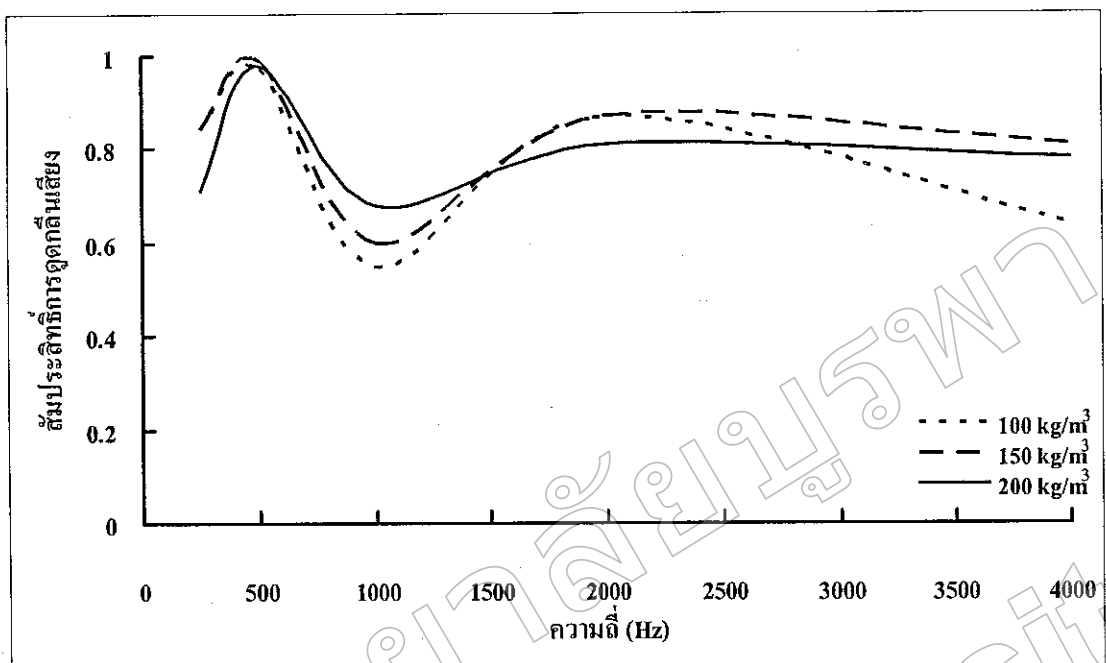
ภาพที่ 37 ความสัมพันธ์ระหว่างสัมประสิทธิ์การดูดกลืนเสียงกับความถี่ที่อัตราส่วนระหว่าง
ความหนาแน่นของวัสดุต่อไชค์ต่อไอกกต่างกัน เมื่อความหนาของแผ่นดูดกลืนเสียงเท่ากับ 7.5 cm
ความหนาแน่น 150 kg/m^3



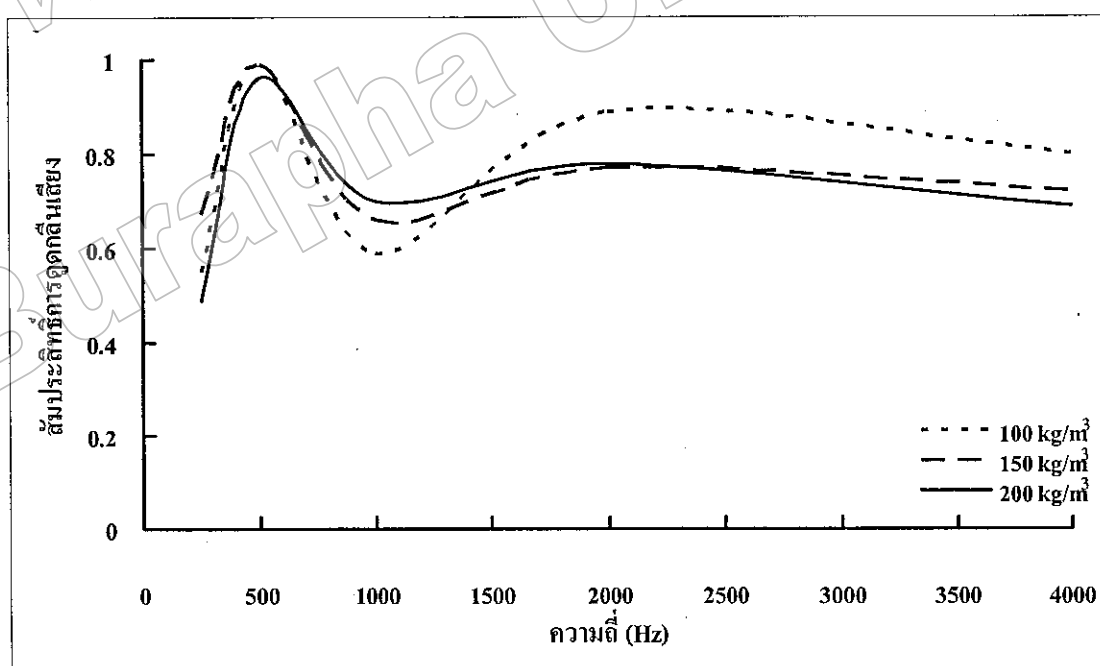
ภาพที่ 38 ความสัมพันธ์ระหว่างสัมประสิทธิ์การดูดเสียงกับความถี่ที่อัตราส่วนระหว่าง
การยูเรียฟอร์มัลดีไฮด์ต่อไอก๊อกต่างกัน เมื่อความหนาของแผ่นดูดเสียงเท่ากับ 7.5 cm
ความหนาแน่น 200 kg/m^3



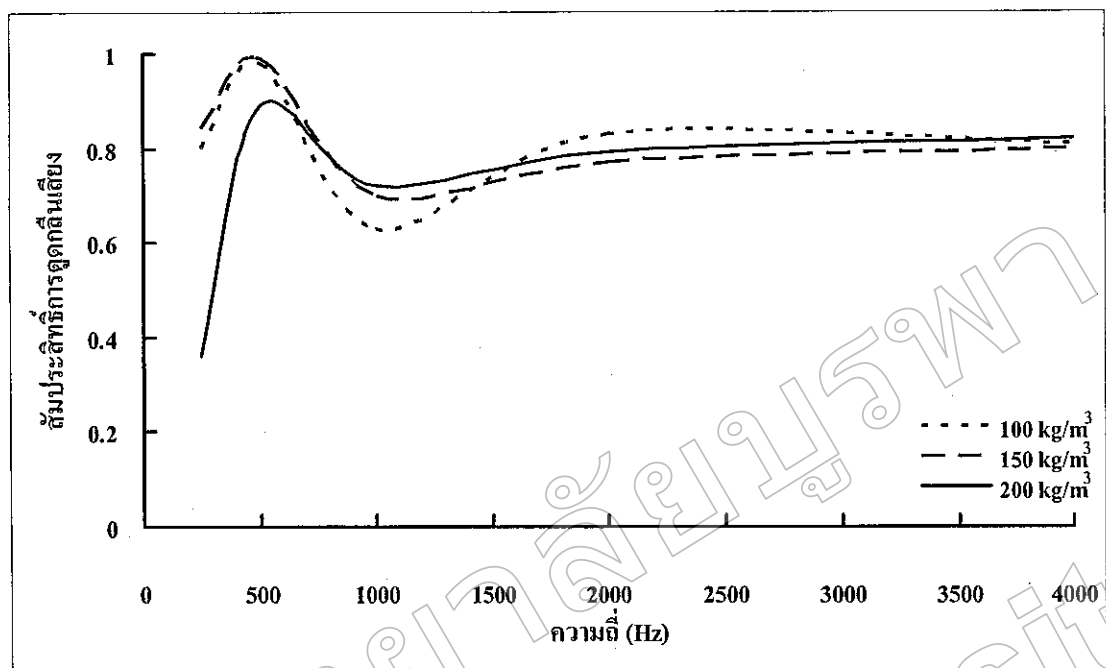
ภาพที่ 39 ความสัมพันธ์ระหว่างสัมประสิทธิ์การลดเสียงกับความหนาแน่นที่อัตราส่วนระหว่าง
การยูเรียฟอร์มัลดีไฮด์ต่อไอก๊อกต่างกัน เมื่อความหนาของแผ่นดูดเสียงจากไอก๊อก
เท่ากับ 7.5cm



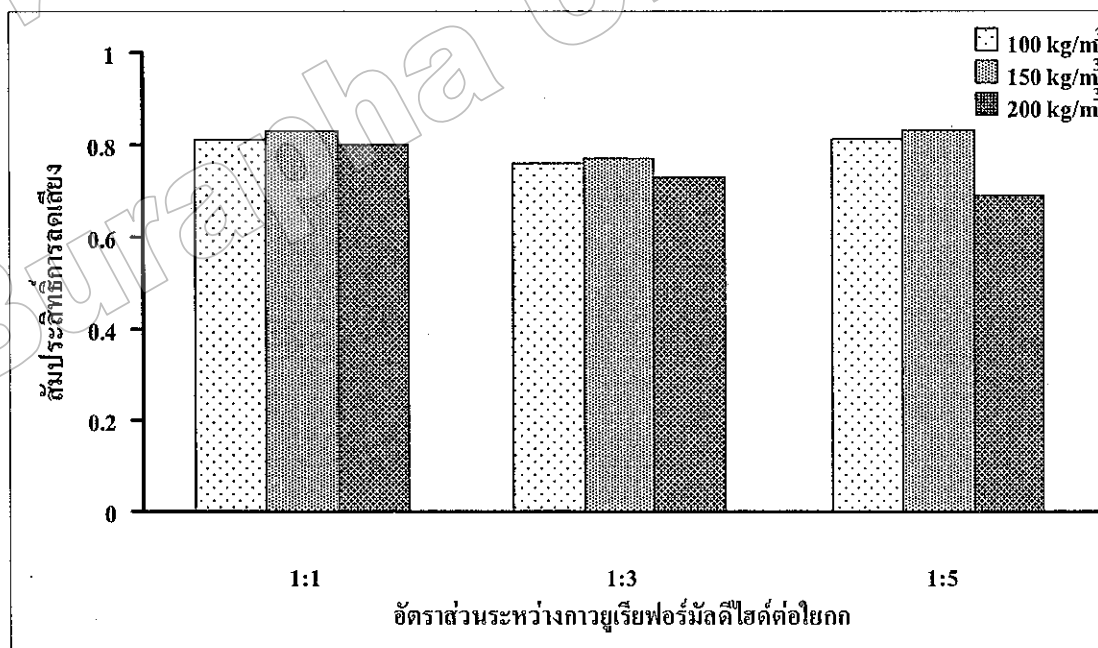
ภาพที่ 40 ความสัมพันธ์ระหว่างสัมประสิทธิ์การดูดกลืนเสียงกับความถี่ ที่ความหนาแน่นของแผ่นดูดกลืนเสียงจากไยกอกต่างกัน เมื่ออัตราส่วนระหว่างกาวyuเรียฟอร์มัลดีไซด์ต่อไยกอกเท่ากับ 1:1 ความหนา 7.5 cm



ภาพที่ 41 ความสัมพันธ์ระหว่างสัมประสิทธิ์การดูดกลืนเสียงกับความถี่ ที่ความหนาแน่นของแผ่นดูดกลืนเสียงจากไยกอกต่างกัน เมื่ออัตราส่วนระหว่างกาวyuเรียฟอร์มัลดีไซด์ต่อไยกอกเท่ากับ 1:3 ความหนา 7.5 cm



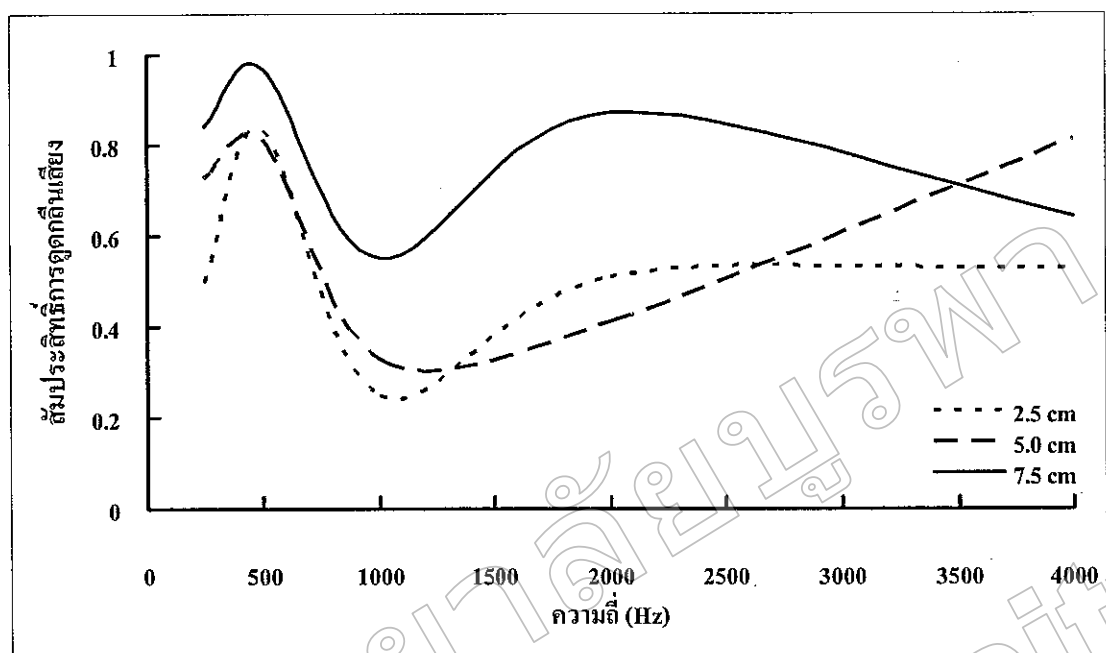
ภาพที่ 42 ความสัมพันธ์ระหว่างสัมประสิทธิ์การดูดกลืนเสียงกับความถี่ ที่ความหนาแน่นของแผ่นดูดกลืนเสียงจากไยกอกต่างกัน เมื่ออัตราส่วนระหว่างความถี่ริบฟอร์มัลตีไซด์ต่อไยกอกเท่ากับ 1:5 ความหนา 7.5 cm



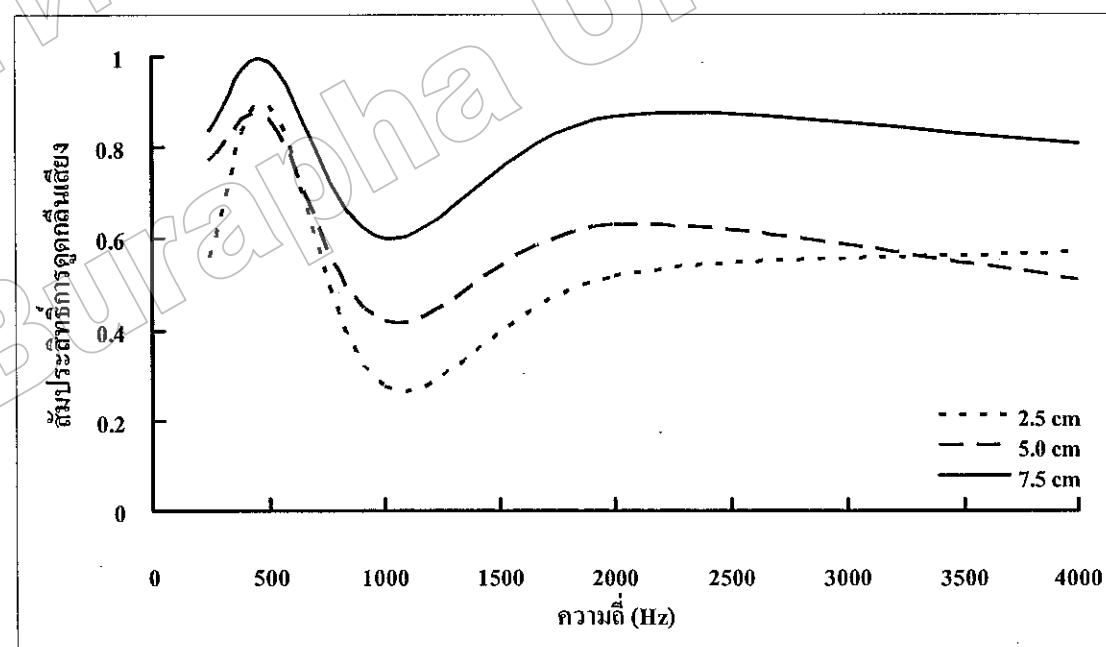
ภาพที่ 43 ความสัมพันธ์ระหว่างสัมประสิทธิ์การลดเสียงกับอัตราส่วนระหว่างความถี่ริบฟอร์มัลตีไซด์ต่อไยกอก ที่ความหนาแน่นต่างกัน เมื่อความหนาของแผ่นดูดกลืนเสียงจากไยกอกเท่ากับ 7.5 cm

ตารางที่ 15 ค่าสัมประสิทธิ์การดูดกลืนเสียงและค่าสัมประสิทธิ์การลดเสียงของแผ่นดูดกลืนเสียง
จากไอกก ที่อัตราส่วนระหว่างภาวะเรขพองร์มัลตีไซด์ต่อไอกก 1:1

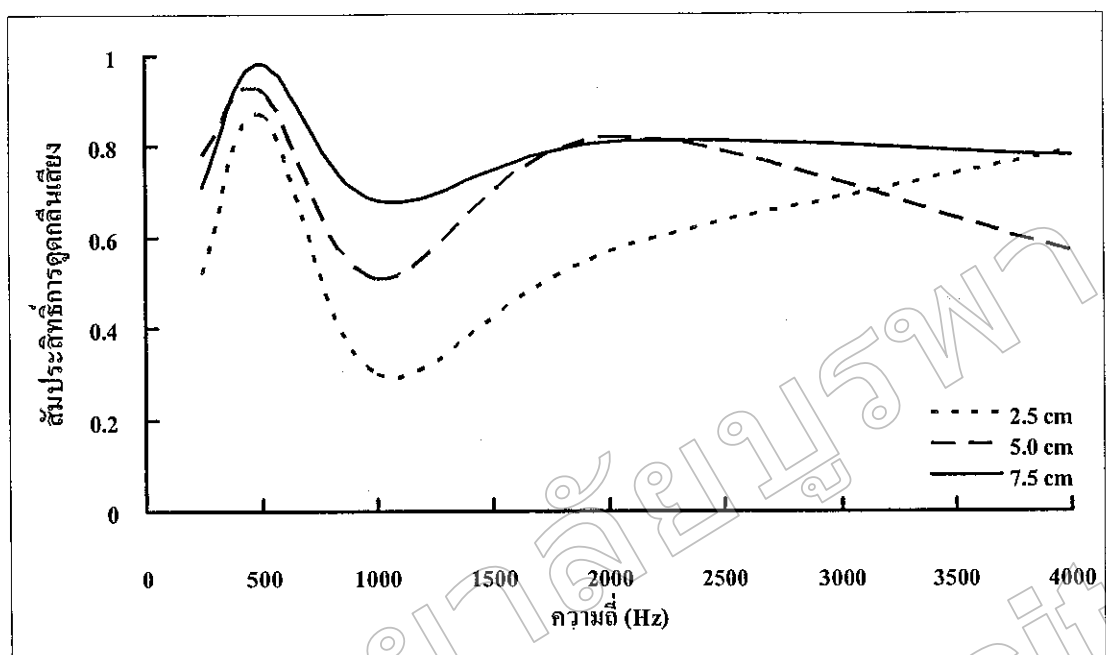
ความหนา (cm)	ความหนาแน่น (Kg/m ³)	ค่าสัมประสิทธิ์การดูดกลืนเสียง					ค่าสัมประสิทธิ์ การลดเสียง
		250	500	1000	2000	4000	
2.5	100	0.50	0.83	0.25	0.51	0.53	0.52
	150	0.56	0.89	0.28	0.52	0.57	
	200	0.52	0.87	0.30	0.57	0.79	
5.0	100	0.73	0.81	0.33	0.41	0.81	0.57
	150	0.77	0.86	0.42	0.63	0.51	
	200	0.78	0.92	0.51	0.82	0.57	
7.5	100	0.84	0.97	0.55	0.87	0.64	0.81
	150	0.84	0.99	0.60	0.87	0.81	
	200	0.71	0.98	0.68	0.81	0.78	



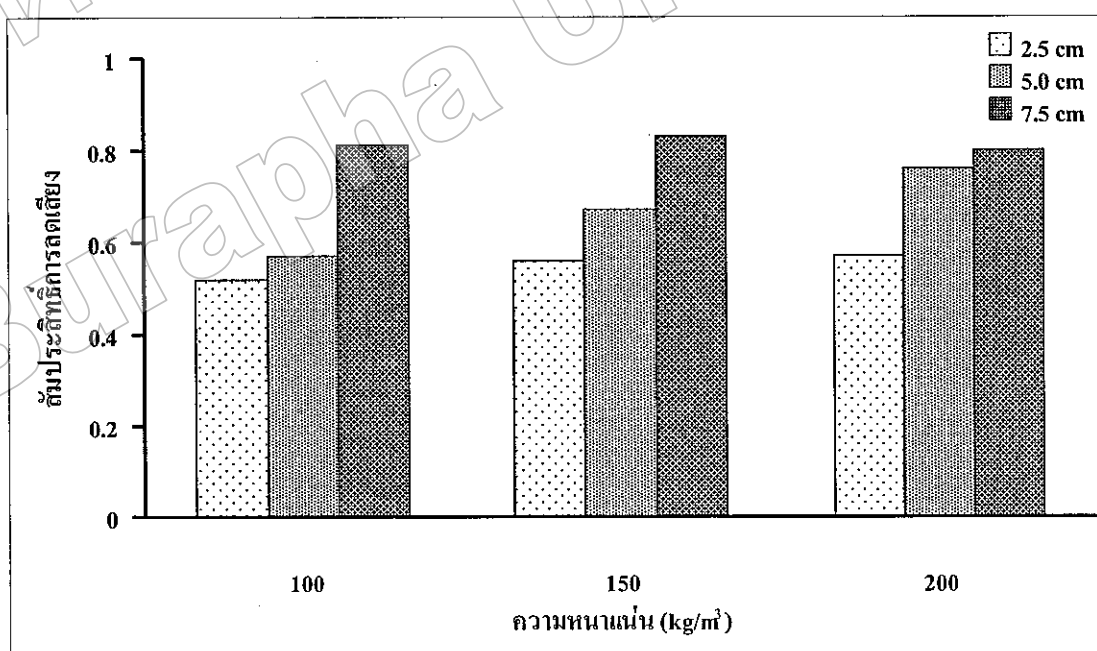
ภาพที่ 44 ความสัมพันธ์ระหว่างสัมประสิทธิ์การดูดลืนเสียงกับความถี่ ที่ความหนาของแผ่นดูดลืนเสียงจากไยกกต่างกัน เมื่ออัตราส่วนระหว่างความถี่เริ่มฟอร์มัลติไฮด์ต่อไยกกเท่ากับ 1: 1 ความหนาแน่น 100 kg/ m³



ภาพที่ 45 ความสัมพันธ์ระหว่างสัมประสิทธิ์การดูดลืนเสียงกับความถี่ ที่ความหนาของแผ่นดูดลืนเสียงจากไยกกต่างกัน เมื่ออัตราส่วนระหว่างความถี่เริ่มฟอร์มัลติไฮด์ต่อไยกกเท่ากับ 1: 1 ความหนาแน่น 150 kg/ m³



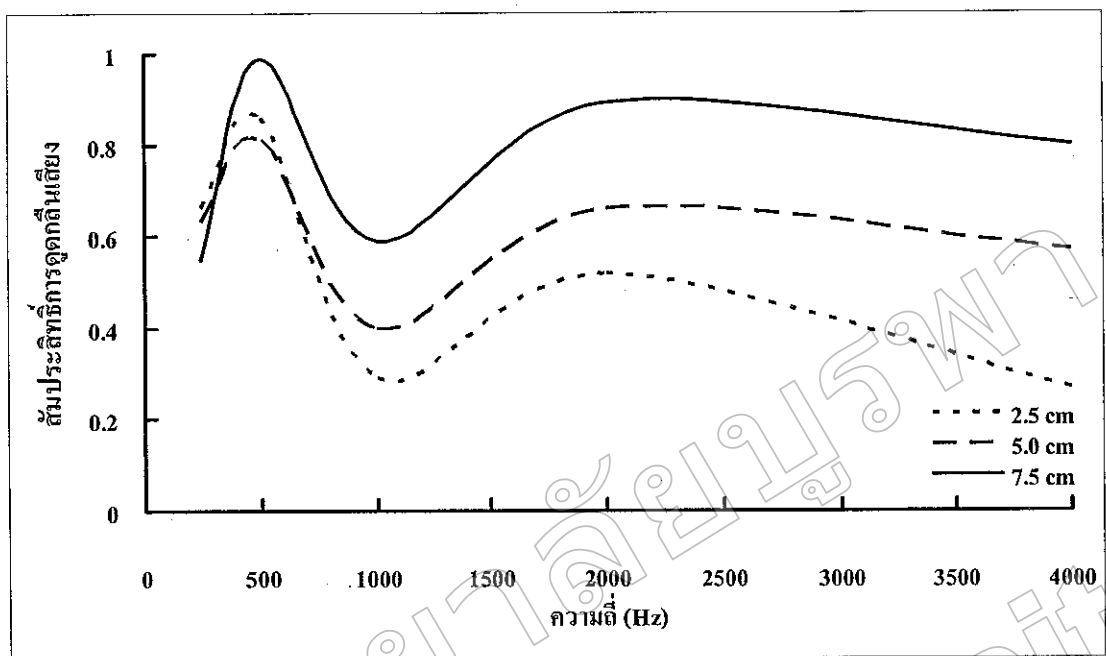
ภาพที่ 46 ความสัมพันธ์ระหว่างสัมประสิทธิ์การดูดคลื่นเสียงกับความถี่ ที่ความหนาของแผ่นดูดคลื่นเสียงจากไยกอกต่างกัน เมื่ออัตราส่วนระหว่างกาวyuเรียฟอร์เมลตีไฮค์ต่อไยกอกเท่ากับ 1: 1 ความหนาแน่น 200 kg/m^3



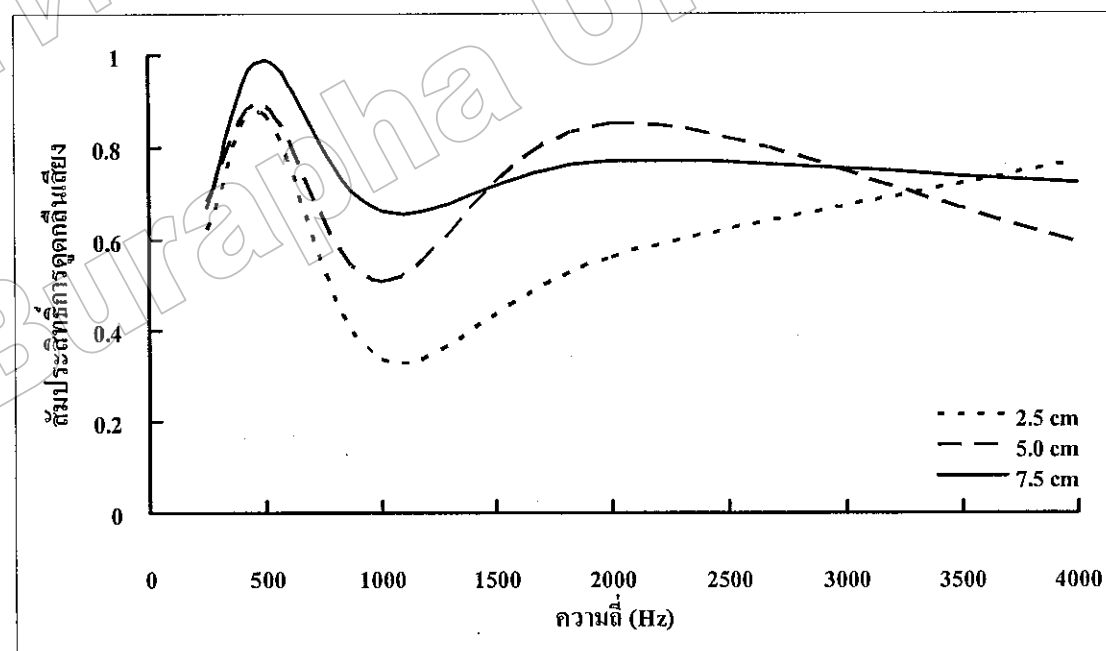
ภาพที่ 47 ความสัมพันธ์ระหว่างสัมประสิทธิ์การลดเสียงกับความหนาแน่นที่ความหนาของแผ่นดูดคลื่นเสียงจากไยกอกต่างกัน เมื่ออัตราส่วนระหว่างกาวyuเรียฟอร์เมลตีไฮค์ต่อไยกอก 1: 1

ตารางที่ 16 ค่าสัมประสิทธิ์การดูดกลืนเสียงและค่าสัมประสิทธิ์การลดเสียงของแผ่นดูดกลืนเสียง
จากไอกก ที่อัตราส่วนระหว่างความเร็วฟอร์มัลตีไซต์ต่อไอกก 1:3

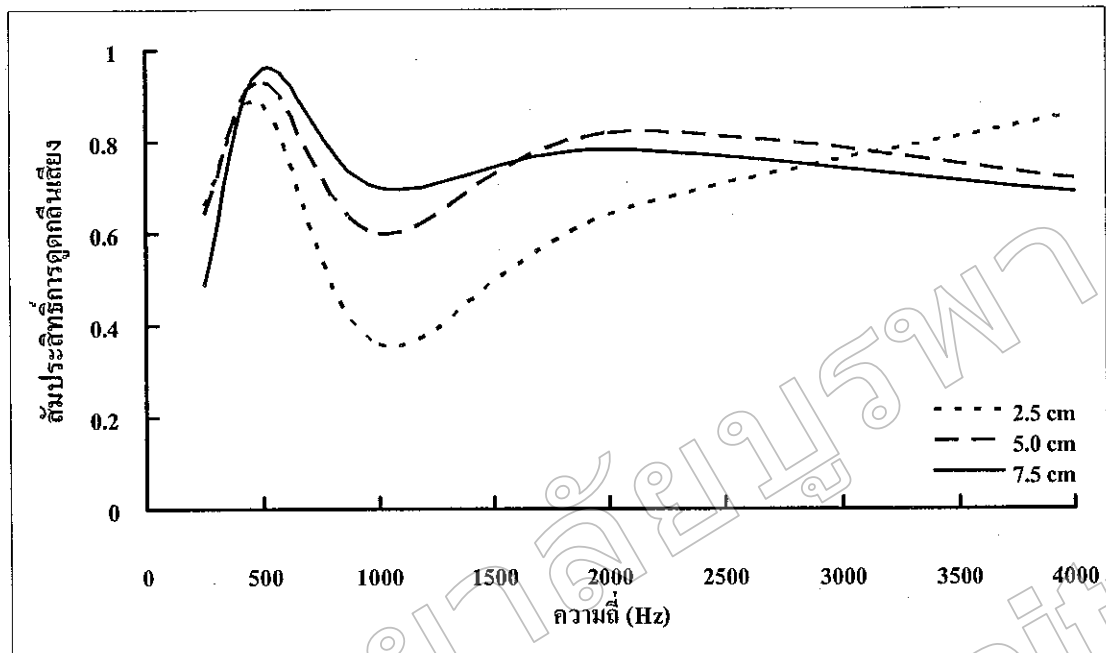
ความหนา (cm)	ความหนาแน่น (Kg/ m ³)	ค่าสัมประสิทธิ์การดูดกลืนเสียง						ค่าสัมประสิทธิ์ การลดเสียง
		250	500	1000	2000	4000		
2.5	100	0.66	0.86	0.29	0.52	0.27		0.58
	150	0.62	0.87	0.34	0.56	0.77		0.60
	200	0.66	0.88	0.36	0.64	0.86		0.64
5.0	100	0.63	0.81	0.40	0.66	0.57		0.63
	150	0.68	0.89	0.51	0.85	0.59		0.73
	200	0.64	0.93	0.60	0.82	0.72		0.75
7.5	100	0.55	0.99	0.59	0.89	0.80		0.76
	150	0.67	0.99	0.66	0.77	0.72		0.77
	200	0.49	0.96	0.70	0.78	0.69		0.73



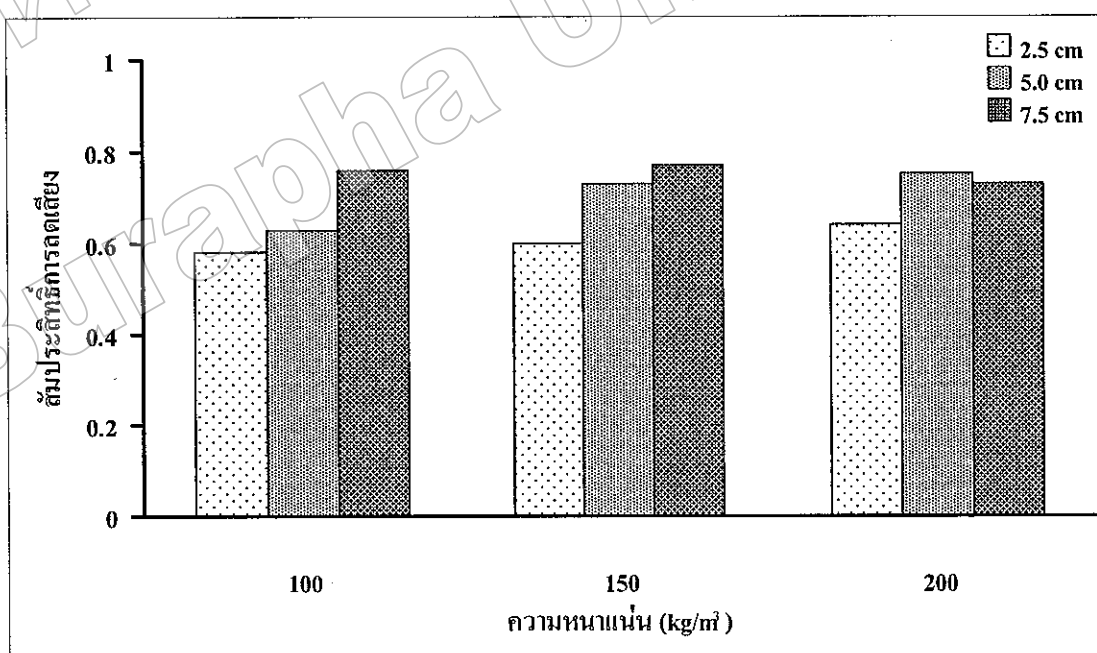
ภาพที่ 48 ความสัมพันธ์ระหว่างสัมประสิทธิ์การดูดกลืนเสียงกับความถี่ ที่ความหนาของแผ่นดูดกลืนเดียวกัน ยกตัวอย่าง เมื่ออัตราส่วนระหว่างความเร็วเริ่มต้นและต่อไปยกตัวอย่าง 1: 3 ความหนาแน่น 100 kg/m^3



ภาพที่ 49 ความสัมพันธ์ระหว่างสัมประสิทธิ์การดูดกลืนเสียงกับความถี่ ที่ความหนาของแผ่นดูดกลืนเดียวกัน ยกตัวอย่าง เมื่ออัตราส่วนระหว่างความเร็วเริ่มต้นและต่อไปยกตัวอย่าง 1: 3 ความหนาแน่น 150 kg/m^3



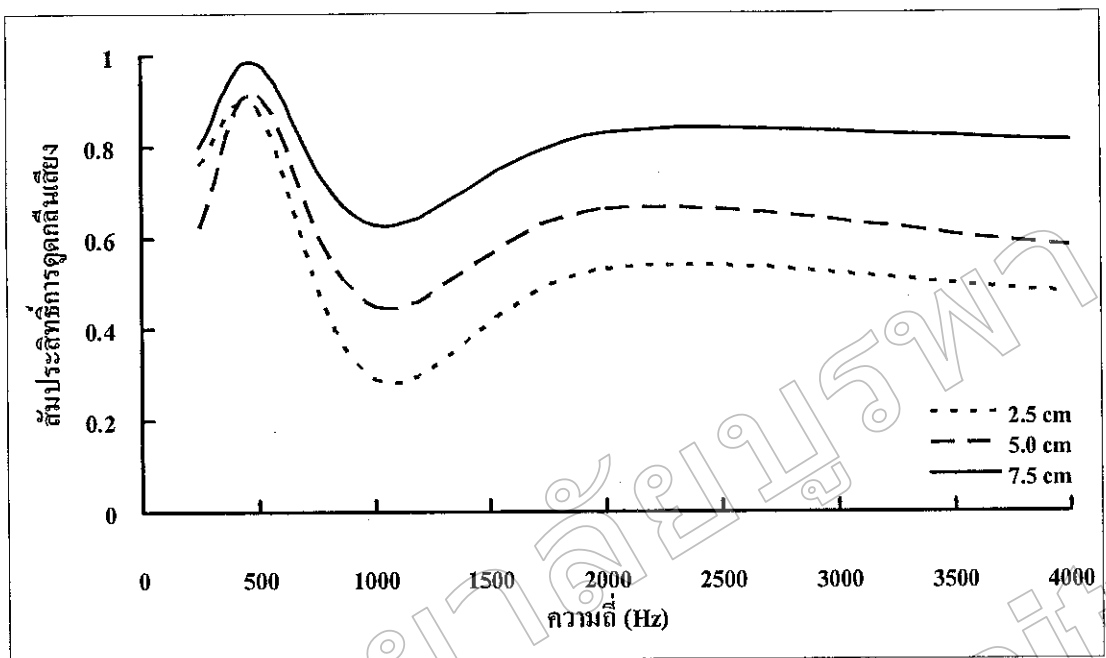
ภาพที่ 50 ความสัมพันธ์ระหว่างสัมประสิทธิ์การดูดซับเสียงกับความถี่ ที่ความหนาของแผ่นดูดคลื่นเดียวกันไม่ต่างกัน เมื่ออัตราส่วนระหว่างกาวูร์มัลตีไซด์ต่อไบค์เท่ากับ 1: 3 ความหนาแน่น 200 kg/m^3



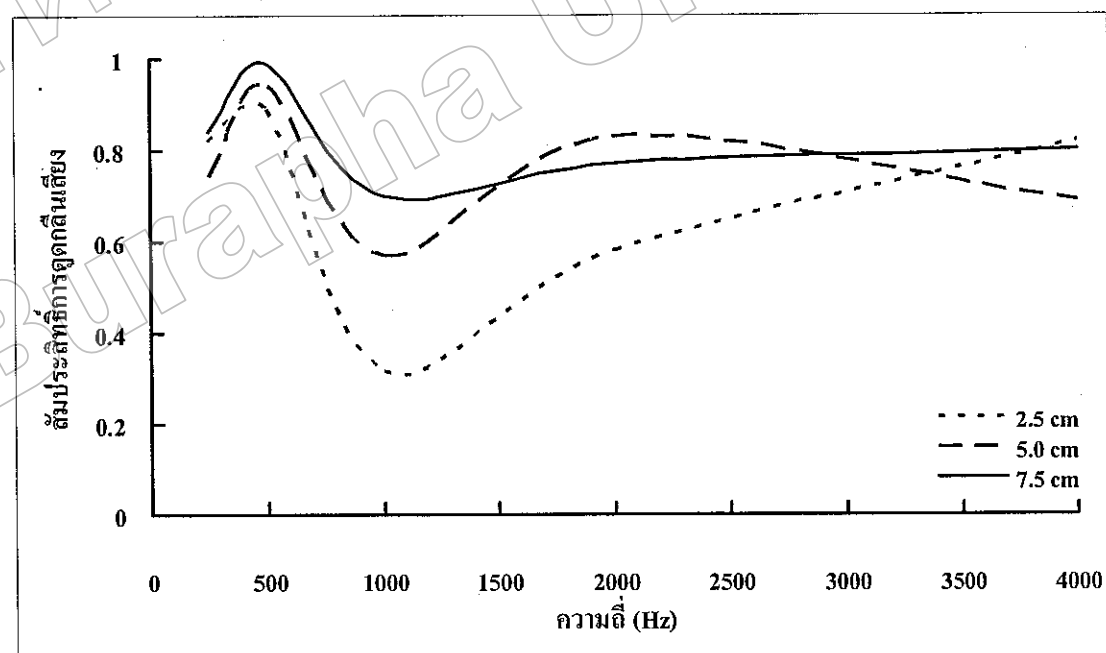
ภาพที่ 51 ความสัมพันธ์ระหว่างสัมประสิทธิ์การลดเสียงกับความหนาแน่นที่ความหนาของแผ่นดูดคลื่นเดียวกันไม่ต่างกัน เมื่ออัตราส่วนระหว่างกาวูร์มัลตีไซด์ต่อไบค์เท่ากับ 1: 3

ตารางที่ 17 ค่าสัมประสิทธิ์การดูดกลืนเสียงและค่าสัมประสิทธิ์การลดเสียงของแผ่นดูดกลืนเสียง
จากไบกอก ที่ยึดตราส่วนระหว่างความถี่เริ่มต้นและสูงสุด 1: 5

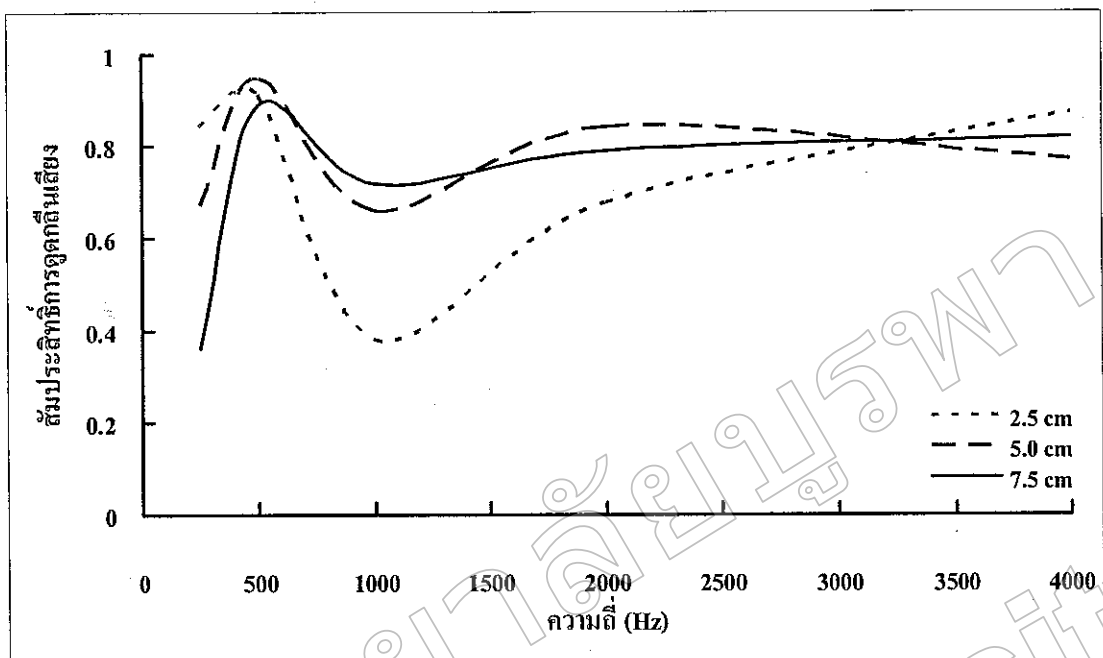
ความหนา (cm)	ความหนาแน่น (Kg/m ³)	ค่าสัมประสิทธิ์การดูดกลืนเสียง						ค่าสัมประสิทธิ์ การลดเสียง
		250	500	1000	2000	4000		
2.5	100	0.76	0.88	0.29	0.53	0.48		0.62
	150	0.82	0.89	0.32	0.58	0.82		0.65
	200	0.84	0.91	0.38	0.68	0.87		0.70
5.0	100	0.62	0.91	0.45	0.66	0.58		0.66
	150	0.74	0.94	0.57	0.83	0.69		0.77
	200	0.67	0.95	0.66	0.84	0.77		0.78
7.5	100	0.80	0.98	0.63	0.83	0.81		0.81
	150	0.84	0.99	0.70	0.77	0.80		0.83
	200	0.56	0.89	0.72	0.79	0.82		0.69



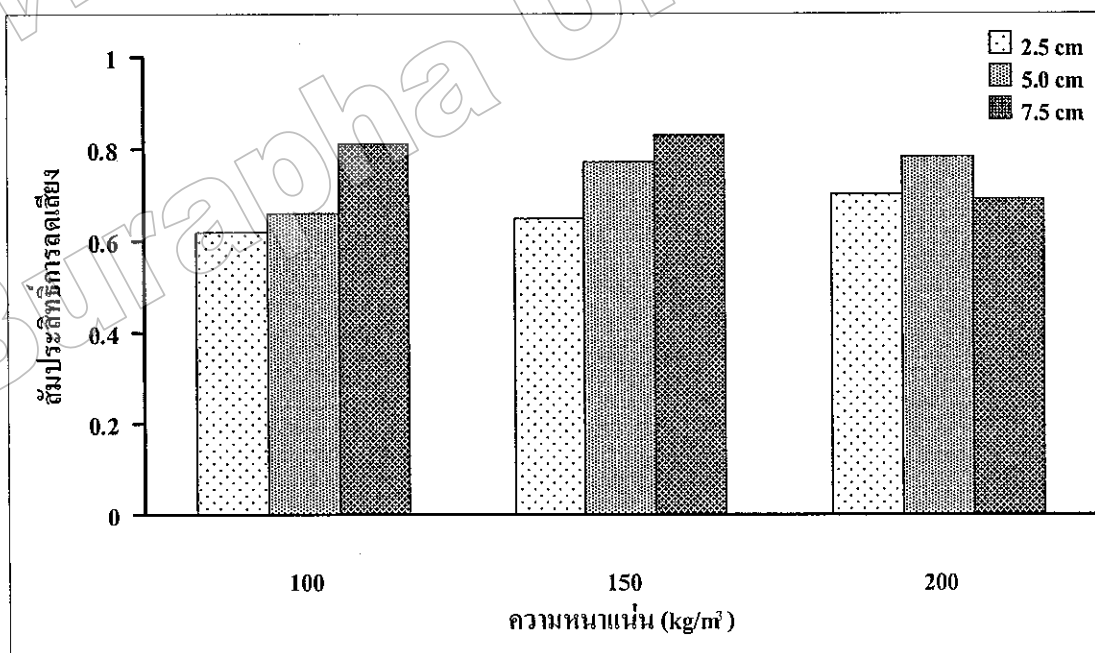
ภาพที่ 52 ความสัมพันธ์ระหว่างสัมประสิทธิ์การดูดกลืนเสียงกับความถี่ ที่ความหนาของแผ่นดูดกลืนเสียงจากไยกกต่างกัน เมื่ออัตราส่วนระหว่างกาวูเรียฟอร์มัลดีไซด์ต่อไยกกเท่ากับ 1: 5 ความหนาแน่น 100 kg/m^3



ภาพที่ 53 ความสัมพันธ์ระหว่างสัมประสิทธิ์การดูดกลืนเสียงกับความถี่ ที่ความหนาของแผ่นดูดกลืนเสียงจากไยกกต่างกัน เมื่ออัตราส่วนระหว่างกาวูเรียฟอร์มัลดีไซด์ต่อไยกกเท่ากับ 1: 5 ความหนาแน่น 150 kg/m^3



ภาพที่ 54 ความสัมพันธ์ระหว่างสัมประสิทธิ์การดูดกลีนเดียงกับความถี่ที่ความหนาของแผ่นดูดกลีนเดียงจากไอกต์ต่างกัน เมื่ออัตราส่วนระหว่างความถี่เริ่มฟอร์มัลดีไซค์ต่อไอกต์เท่ากับ 1: 5 ความหนาแน่น 200 kg/m^3



ภาพที่ 55 ความสัมพันธ์ระหว่างสัมประสิทธิ์การลดเสียงกับความหนาแน่นที่ความหนาของแผ่นดูดกลีนเดียงจากไอกต์ต่างกัน เมื่ออัตราส่วนระหว่างความถี่เริ่มฟอร์มัลดีไซค์ต่อไอกต์ 1: 5